



YILDIZ TEKNİK ÜNİVERSİTESİ
FEN BİLİMLERİ ENSTİTÜSÜ

Elektrolit nang. üret. etkin kriterler

Yüksek Lisans Tezi

İkbal Akkiş

YILDIZ ÜNİVERSİTESİ
FEN BİLİMLERİ ENSTİTÜSÜ

74

EKTROLİTİK MANGANDİOXİD ÜRETİMİNDE ETKİN KRİTERLER

Arş. Gör. İkbal AKKILIÇ

1988-1989
Yüksek Lisans Tezi

İSTANBUL

YILDIZ ÜNİVERSİTESİ

GENEL KİTAPLIĞI

R 361

Kot : 87
Alındığı Yer : Fen-Bilimleri Inst.
Tarih : 12/12/1990
Fatura :
Fiatı : 10.000 TL
Ayniyat No : 1/28
Kayıt No : 47410
UDC : 54 378.242
Ek :

X

YILDIZ UNIVERSITESI
FEN BILIMLERİ ENSTITUSU



ELEKTROLİTİK MANGANDIOXİD URETİMİNDE
ETKİLİ KRITERLER

Ars.Gor. İKBAL AKKILIC

87

Içindekiler:

1: GENEL BAKIS	1
1.1: Mangan Cevherleri	1
1.2: Türkiye'de Mangan Cevherleri ve Durumu	1
1.3: Mangandioxidin Kimyasal ve Fiziksel Özellikleri	3
1.4: Doğal Mangandioxid Yatakları	6
2: MANGANDİOXİDİN KULLANIM ALANLARI	7
2.1: Pil Sanayinde	7
2.2: Metalurjide	7
2.3: Kimya Sanayinde	7
3: MANGANDİOXİDİN ÜRETİM YÖNTEMLERİ	10
3.1: Mn(VII)'nin Termik Parçalanmasıyla Eldesi	10
3.2: Mn(VII), (VI), (V)'in Radyotermik Parçalanmasıyla	10
3.3: Permanganat Çözeltilerinin Asidlendirilmesiyle	10
3.4: Mn(V)'in Disproporsiyonlaşmasıyla Eldesi	11
3.5: Mn(IV)'ün Hidroliziyle Eldesi	11
3.6: Mn(III) Oksitten Eldesi	12
3.7: Mn($\text{NO}_3)_2 \cdot \text{XH}_2\text{O}$ 'nun Termik ve Radyotermik Parçalama İle Eldesi	12
3.8: Mn(II)'nin Yükseltgenmesiyle Eldesi	12
3.9: MnO_2 'nin Modifikasiyonlarının Saf Eldesi	14
4: PIL SANAYİ İÇİN MANGANDİOXİD ÜRETİMİ	15
4.1: Kimyasal İşlemle Pil Cevheri	15
4.2: Sentetik İşlemle Pil Cevheri	15
4.3: Elektrolitik MnO_2 Üretimi	16
5: ELEKTROLİTİK MnO_2 ÜRETİMİ	16
5.1: Elektrolitler	16
5.2: Elektrodlar	18
6: E.M.D. ÜRETİM YÖNTEMLERİ	20
6.1: Tarihi Gelişimi	20
6.2: EMD Yöntemlerinin İncelenmesi	20
7: EMD ÜRETİMİNDE GİĞER KOŞULLAR	25
7.1: Hücre Voltajı	25
7.2: Anodik Reaksiyon	27
7.3: Depositin İletkenliği	29
7.4: Elektrolitin İletkenliği	30
7.5: Katodik Reaksiyon	31
8: EMD ÜRETİMİ İLE İLGİLİ NOTLAR	31
9: BAKIR VE MANGANDİOXİDİN ELEKTROLİTİK OLARAK BİRLİKTE ELDESİ	33
10: DENEYSEL KİSIM	34
10.1: Deney Düzeneği, Deney Koşulları	34
10.2: Akım Veriminin Cu^{2+} Derişimine Bağımlılığı	34
10.3: Akım Veriminin Asid Derişimine Bağımlılığı	36
10.4: Elektroliz Sırasında Akım Şiddeti Değişimi	36
10.5: MnO_2 Kalınlığının Akım Verimine Etkisi	38
10.6: Sonuçların Değerlendirilmesi	38

1988-1989 öğretim yılında "ELEKTROLİTİK MANGANDİOXİD ÜRETİMİNDE ETKİLİ KRİTERLERİN İNCELENMESİ" konulu tez çalışmamı tamamlamış bulunmaktayım.

Doğal mangan kaynaklarının değerlendirilmesinde olduğu kadar endüstrinin birçok dallarında, özellikle kimya ve pil endüstrilerinde mangandioxid üretim ve kullanımı oldukça önemlidir. Bu önemli konuda literatür çalışması ve Üniversitemiz olanakları elverdiğince araştırma ve inceleme yapma olanağı elde etmiş olmam benim için son derece onur vericidir.

Çalışmalarım sırasında kullandığım tüm bilgilerde, bugüne dekin edinmiş olduğum eğitimlerin tümünden bir parça olduğu inancıyla, bilgi dağarcığıma birşeyler atmış tüm hocalarıma sonsuz teşekkürler ederim. Ayrıca tez çalışmalarımda özellikle yardımlarını esirgemeyen değerli hocam Prof.Dr. Hüseyin Afşar'a teşekkür etmeyi bir borç bilirim.

İkbal Akkılıç, Yıldız Univ. 1989

SUMMARY

Effective parameters of the electrolytic production of manganese dioxide.

ÖZET:

In this study manganese dioxide was produced the electrolysis of "Bu çalışmada bakırsülfat ve mangansülfat içeren çözeltinin sülfat asidli ortamda, grafit elektrodlar kullanılarak elektrolizi yapılmıştır. Elektroliz sırasında katodda metalik bakır, anodda ise mangandioxid toplanmıştır. Tüm elektroliz işlemleri $90 - 95^{\circ}\text{C}$ 'de yapılmıştır.

Akım verimi üzerine bakır sülfat ve sülfat asidi konsantrasyonu etkileri araştırılmıştır. Deneysel verilere göre bakır sülfat konsantrasyonunun artması ile anod akım veriminde bir artma gözlenmiş, katod akım veriminde ise bir azalma saptanmıştır. Optimum anod ve katod akım veriminin $0.02 - 0.023 \text{ Cu}^{(2+)}$ iyonu içeren elektrolitle çalışıldığımızan elde edileceği sonucu çıkarılmıştır.

Asid derişiminin değiştirilmesinin akım verimi üzerine önemli bir etki göstermediği ortaya çıkmıştır.

Sonuç olarak bakır ve mangandioxidin aynı anda elektrolizi sayesinde bir takım avantajlar elde edilmistir. Örneğin toplam elektrik tüketiminde %90 civarında tasarruf sağlanırken tek bir sistem içerisinde her iki üretimi birlikte yapma olanağı doğmuştur.

Normal prosedürlerde katodda hidrojen ayrılırken bu işlemle sinayı önemi olan bakır hidrojenin yerini almıştır.

SUMMARY

Effective parameters of the electrolytic production of manganese dioxide

In this study manganese dioxide was produced by electrolysis of solution containing manganese sulfate, copper sulfate and sulfuric acid. The products of the electrolysis were manganese dioxide at the anode and copper at the cathode. Graphite rods were used as anode and cathode. All of the electrolyses were carried out at 90-95°C.

The effects of sulfuric acid and copper sulfate concentrations upon the current efficiency were investigated and optimum conditions of electrolysis were determined.

Experimental result revealed that as the copper concentration was increased cathodic current efficiency decreased and the anodic current efficiency increased.

The variation of the acid concentration was nearly unaffected upon current efficiency.

As a result; the advantages of simultaneous electrolysis of Cu-MnO₂ were saving in electricity and decrease of hidrogen and oxigene evolution.

1.GENEL BAKIŞ

1.1:MANGAN CEVHERLERİ

U.S.Bureau statik amaç için mangan filizini söyle sınıflandırmıştır:

	%Mn
Mangan Filizi	35 yada daha fazla
Demirli Mn Filizi	10-35
Demirli Mn Filizi	5-10

Genel terim "Ferromangan filizi" U.S.B.M ile %35 Mn den daha küçük %5 Mn den daha büyük filizler için kullanıldı. Buna karşın endustride %2 Mn içeren filizlere ferromangan filizi dendi.

Pil cevheri MnO_2 'in sentetik grade A tipi min.%85 MnO_2 'ye eşdeğer bağlanabilir oksijene, doğal grade A ise en az %75 MnO_2 'ye eşdeğer bağlanabilir oksijene sahip olmalıdır. Ticari kalitede doğal grade B min.%68 doğal MnO_2 'ye eşdeğer bağlanabilir oksijene sahip olmalıdır.

Kimyasal amaçla kullanılan mangan cevheri P-81-R özelliğinde iki çeşit olarak belirtildi. A tipi kimyasal proseslerde hidrokinon üretiminde olduğu gibi oksitleyici reaktif olarak kullanıldı. B tipi ise permanganat yapımında kullanıldı. A ve B çeşidi için kimyasal bilişim aşağıda tabloda verilmiştir:

	Tip A %	Tip B %
min.mangandioksit:	80.0	82.0
min.mangan :		53.0
max.demir :	3.0	3.0
max.silikat :		5.0
max.aluminyum :		3.0
max.arsenik :		0.1
max.fosfor :		0.2

1.2:TÜRKİYE'DE MANGAN CEVHERİ VE DURUMU:

Mangan cevheri rezervleri bakımından zengin olan Türkiye, ham cevheri yeterince değerlendiremediği için çok miktarda ham cevher ihrac etmektedir. Buna karşın işlenmiş cevher (kalsine edilmiş ve zenginleştirilmiş mangan oksitleri ve sentetik MnO_2) ithal etmektedir. Bu bileşiklerden en önemlisi pil sanayinde önemli yer tutan MnO_2 dir.

Tablo 1'de Türkiye'deki önemli mangan rezervleri gösterilmiştir. Tablo 2'de ise Türkiye'nin mangan cevheri ithalatı ülkeler bazında gösterilmiştir.

Pil teknolojisinde depolarizan olarak kullanılan MnO_2 de aranılan özellikler şunlardır:

- 1:Sağlanabilir oksijen miktarının fazla olması,
- 2:Manganın düşük oksidi MnO miktarının az olması,
- 3:Yüksek spesifik gravite,
- 4:İdeal kristal yapıda olma,
- 5:Kendiliğinden boşalmaya neden olacak safsızlıklar ve serbest ekşitler olmamalıdır.

Tablo 1: TÜRKİYE'NİN ÖNEMLİ MANGAN REZERVLERİ

İL	İLÇE	%Mn TENÖRÜ	GÖRÜNÜR REZERV(ton)	OLASI REZERV(ton)	TOPLAM REZERV(ton)
ADANA	CEYHAN	21	10.000	28.000	38.000
ADANA	CEYHAN	30	-----	100.000	100.000
AFYON	BOLVADI	48	50.000	-----	50.000
AMASYA	E. PAZARI	38.6	100.000	-----	100.000
ANKARA	ELMADÄG	48	58.000	-----	58.000
ANKARA	HAYMANA	47	200.000	250.000	450.000
ANKARA	KESKİN	40	-----	200.000	200.000
ARTVİN	BORÇKA	30	160.000	-----	160.000
ARTVİN	ŞAVŞAT	38-48	30.000	-----	30.000
BALIKESİR	DURSUNBEY	50	15.000	30.000	45.000
ÇANAKKALE	LAPSEKİ	31.7	-----	100.000	100.000
ERZİNCAN	ÇAYIRLI	52	100.000	-----	100.000
ERZİNCAN	İLIC	50.9	360.000	-----	360.000
ERZURUM	OLTU	47-51	13.000	31.000	45.000
İSTANBUL	ÇATALCA	36-45	15.000	50.000	65.000
İSTANBUL	ÇATALCA	40	10.000	50.000	60.000
KIRKLARELİ	VİZE	30	-----	9.000.000	9.000.000
KASTAMONU	Ç. ZEYTİN	35-40	284.000	-----	284.000
KASTAMONU	Ç. ZEYTİN	39.7	-----	10.000.000	10.000.000
MUĞLA	MİLAS	30	-----	100.000	100.000
SAKARYA	GEYVE	53	-----	400.000	400.000
TRABZON	ARAKLI	30	120.000	-----	120.000
ZONGULDAK	EREĞLİ	43	135.000	-----	135.000
TOPLAM :			1.660.000	20.339.000	22.002.000
MANGAN İÇERİĞİ TOPLAMI:			707.725	7.247.720	7.995.445

Bunların dışında Malatya Hekimhan Deveci yatağındaki ortalama %4.2 Mn tenörlü manganlı demir cevheri ve diğerleriyle birlikte mangan cevheri rezervlerinin birkaç yüz milyon tonu aşması olasıdır.

Tablo 2: 1985 yılında Türkiye'nin manganez cevheri ithalatı

KALSİNE EDİLMİŞ MANGAN CEVHERİ İTHALATI

Ülke	Miktar (kg)
Federal Almanya	35.686
A.B.D.	5.323
Hollanda	1.980
İngiltere	1.034
Japonya	600
Toplam	44.623

ZENGİNLEŞTİRİLMİŞ MANGAN CEVHERİ İTHALATI

Gabon	300.000
-------	---------

DİĞER MANGAN CEVHERİ İTHALATI

Belçika-Lüksenburg	1.000.000
İngiltere	1
Toplam	1.000.001

KİMYA SANAYİ İTHALATI

1986 (gerçekleşen) 1987 (gerçekleşen) 1988 (prog.)

Manganez Oksitleri	485	698	770
--------------------	-----	-----	-----

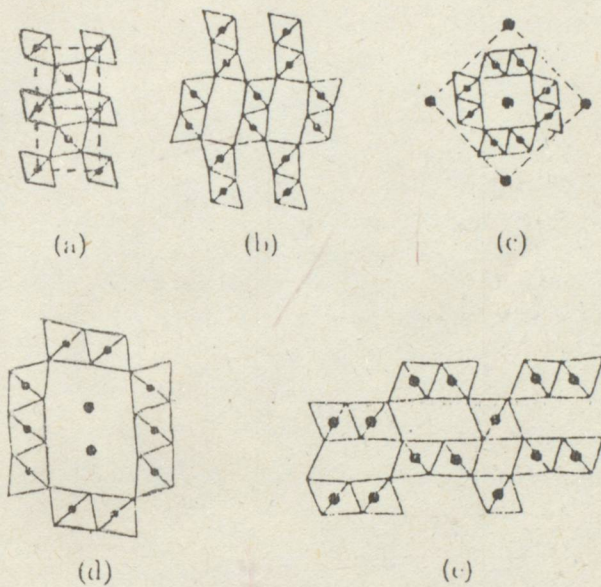
1.3: MANGANDİOKSIDİN KİMYASAL VE FİZİKSEL ÖZELLİKLERİ

MnO_2 Manganez (IV) oksit, pyrolisit, braunstein, glassmakers sabunu olarak bilinir. Daha çok $\beta\text{-MnO}_2$ yapısında bulunmaktadır. Spgr 5.06, sertlik 6-6.5 Mohs ölçüsündedir. Tetragonall yapıda $a = 4.38 \text{ \AA}$, $c = 2.86 \text{ \AA}$, ve bir Mn_2O_4 'ün birim hücresini kapsamaktadır. Tetragonall yapıda olduğu şüphesi götürmemektedir. Fakat birkaç polimorfları vardır. Ramsdellit orta rombik yapıda $a = 4.5 \text{ \AA}$, $b = 9.2 \text{ \AA}$, $c = 2.53 \text{ \AA}$ ve Spgr = 4.7 dir. Nadir olarak doğada bulunur. Genelde $\alpha\text{-MnO(OH)}$ oksidasyonuyla sentez edilir. 250°C 'nin üstünde pyrolisite dönüşür. Doğada oluşan MnO_2 formundaki pyrolisit az miktarda OH^- , Mn^{2+} iyonlarını ve başka elementleri içerir. Bu durum MnO_2 'nin yapısını şüpheye götürür. En saf meteryal laboratuvara birkaç saat içinde 250°C de $\text{Mn}(\text{NO}_3)_2$ nin termal bozulmasıyla ve 500°C de azotun uzaklaştırılmasıyla elde edilir. Burada efe geçen ürün siyah ve çok serttir. Elektriksel iletkenlik ve X-Ray ölçümleri ürünün pyrolisit olduğunu göstermiştir. Kristal yapıda olmayan MnO_2 bir seri sürekli geçişlerle tam kristal MnO_2 ye dönüşür. Çünkü bazı varyansları depolizör olarak daha uygundur. Bunun için detaylı araştırma yapılmıştır. Fakat identifikasiyonu tam olarak aydınlatılamamıştır.

MnO_2 yapısının temel birimi Mn^{4+} atomudur. Oktahedran yapıda 6 oksijen atomu Mn^{4+} ya bağlıdır. Tek yada dallanmış zincirlerinin

ortak köşelerinden bu oktahedranlar bağlı olarak dizilirler. Kenarlarından bireleşmiş tek oktahedron zincirin distorsiyonundan (çevrilmesinden) β -MnO₂ (pyrolusit), çift zincirin distorsiyonundan ramsdellit oluşur. Kristalize β -MnO₂ ve kristalize ramsdellit yapısına, ek olarak MnO₂ olarak sözedilen çok sayıda tam olarak tanımlanmamış fazlar vardır. Daha iyi kristalleenmiş fazlar X-Ray patterninde ortorombik olarak görülmüştür. Zayıf kristal metaryeller tetragonal pyrolusit yapısına yakındır.

Mangandioxidin çeşitli formları şekil 1'de gösterilmiştir:



Sekil 1: a) β -MnO₂ b) Ramsdellit c) α -MnO₂ ve Hollandit
d) psilomelan ve e) γ -MnO₂

δ -MnO₂ terimi önceleri zayıf kristalleenmiş, su partikülleri içeren doğal filizler için kullanıldı. Belirli yataklarda δ -MnO₂ metalurjik filizlerde yaygın olarak bulunur. U.S. Army Signal Corp. β -MnO₂ terimi kullanır. Buda sentetik MnO₂'nin bir çeşididir X-Ray difraksiyonu vardır ve kuru pil niteliğindedir.

δ -MnO₂ düşük kristal yada amorf yapıdadır. δ -MnO₂, β -MnO₂'nin ramsdellit yada MnO'ının morfolojik ön maddesidir. α -MnO₂ diğer metallerle, özellikle alkalilerle kristalleenmiş MnO verir. Signal Corps. α -MnO₂'nın denge durumları dışındaki yapılarda ϵ -MnO₂'yi de tanımlamıştır.

Sekil 2.

(1) Tetraogonal yapıdaki MnO_2 (pyrolusit)'in en fazla stabil şekli $\beta\text{-}MnO_2$ 'dir. Daha çok kusursuz kristaller halinde bulunur. Kristal olan yada kristal olmayan hidrate MnO_2 (delta MnO_2) arasında yapıların sürekliliği yoktur. (2) $\alpha\text{-}MnO_2$ 'nin simetrisinin derecesi en düşüktür. Kristal şebekesine qiren ve K^+ , Ba^{2+} , Pb^{2+} ve Na^+ gibi iyonlarla çeşitli kristal hallerde bulunur. Bu çeşitli mineraller psilomelan, kriptomelan ve coronadittir. Bunlar Şekil 2 de gösterilmiştir. Üçüncü kısım MnO_2 'in ortorombik yapısı olan ramsdellit aittir. Tek ve düşük simetri derecesine sahiptir. Bazı örnekler keskin ve ayrıca X-Ray çizgileri kusursuz olan kristal yapı verir. Fakat az sayıdaki örnekler tam karekterize olmamış veya amorf yapıdadır. (4) $\gamma\text{-}MnO_2$ orta derecede kristal yapıya yakın ramsdellitidir. (5) $\delta\text{-}MnO_2$ terimi tümünün çıkış kaynağıdır. Kristal olmayan meteryal için amorf yapıya verilen addır.

Kriptomelan $\alpha\text{-MnO}_2$, tetragononal MnO_2 'dir. Mineral küçük miktarda alkalileri genellikle potasyumu içerir. Genel formül $(\text{Mn}^{2+})_8 \text{O}_6$ şeklindedir. Birnessite $\delta\text{-MnO}_2$ 'dir. Bunlar pil filizi için zayıf kristallerdir.

Tablo 3: ÖNEMLİ MANGANEZ MINERALLERİ

1.4: DOĞAL MANGANDIOKSİT YATAKLARI

Mangan cevherleri çok fazla yada saf olan oksitleri halinde özellikle MnO_2 ve $MnCO_3$ şeklinde bulunur. Silikat $MnSiO_3$ yeterli miktarda bulunmaktadır. Fakat çıkarma işlemleri ekonomik olmadığı için tercih edilmemektedir.

Her dereceden cevher rezervleri iki milyon tonu aşmaktadır. En geniş bilinen depozitler büyüklik sırasına göre U.S.S.R., Gabon, Güney Afrika, Brezilya ve Çin'dir. Gabon dışındaki ülkelerde üretim yöntemi aynıdır. Gabon'da 1962 de çalışmalarla başlandı, 1965 den sonra üretim 1.3 milyon tona ulaştı.

Moanda ve Gabonda çok önemli yataklar yeni keşfedildi. 200 milyon ton reservin %48 Mn içeriği olduğu ve bunların %85'inin pil filizi olarak kullanılabilicegi saptanmıştır.

Fakir kristal oksit depozitleri yatay tabakalarda oluşur. 3-8 m kalınlığında tabakalar birkaç platodur ve yüzeyin 3-8 m altındadır. Manganın %50 si Gana'da metalurjik cevherlerden üretilmiştir. Bir kısım cevher de pil filizi olarak ayrılmıştır.

A.B.D.'de mangan reservleri %35 yada daha fazla Mn içerir ve bir milyon ton üretim olabilir. Buna rağmen düşük kaliteli yataklar çok genişdir ve refrakter malzemesi olarak kullanılmaktadır. Maine, Minnesota, Sout Dukato ve Arizona'da yataklar çok genişdir.

A.B.D.'de Mangan filizi potansiyeli aşağıda gösterilmiştir:

Reserv	Ton	Mn %
Butte, Mont	5.0	14.0
Philisburg, Mont	0.8	22.5
<hr/>		
Filiz Potansiyeli		
Aroostook County Me	313.6	9.0
Cuyuna Range, Minn	504.0	5.0
Chamberlain, S.D.	77.3	15.5
Artillery Peak, Ariz	174.7	4.0
Leadville Colo	4.0	15.0
Three Kinds New	5.0	10.0
Pioche New	4.0	10.0

2: MANGANDİOKSIDİN KULLANIM ALANLARI

Mangan dioksidin başlıca üç büyük kullanım alanı vardır:

- 1: Pil sanayinde
- 2: Metalurji sanayinde
- 3: Kimya sanayinde

2.1: PIL SANAYİNDE

MnO_2 'nin en önemli kullanım alanı pil sanayidir. Kuru piller çinko anod ve grafit katodlarla bunların arasına yerleştirilmiş eloktrolitten ibarettir. Eloktritolit çinko klorür ve amonyum klorür karışımı olup gözenekli bir maddeye emdirilerek yapılır. Grafit çubuğu etrafı MnO_2 ile kaplanmıştır. MnO_2 pilin çalışması sırasında oluşan hidrojeni tutarak katodun hidrojen ile kaplanmasıını öner. Hidrojenin polarizasyon etkisi MnO_2 tarafından qiderilmiş olur. Doğal elektrolitik veya kimyasal olarak üretilen MnO_2 pil sanayinde kullanılabilir.

2.2: METALURJİDE

Uranyum cevherlerinin hidrometalurjisinde MnO_2 oksidan olarak kullanılır. Uranyumu tetra valent durumundan hexa valent duruma MnO_2 oksitler. Uranyumla çözelti leach yapılarak uranyuman kazanımı artar. Çinko sülfat çözeltiside sülfat asidi ile leach yapılarak istenmeyen metalik elementlerden arıtılır. Demir (+3) yada (+2) iyonlarının ortamda az miktarda bulunması MnO_2 'nin oksidasyon reaksiyonunu katalizler. Demir (+2)'yi demir (+3)'e oksitler. Demir (3) hidroksidin çökmesi için çözelti nötralize edilir, oluşan çökealtı uzaklaştırılır. Sulu çamurda (rafineri balığı) bakırın ve ana metallerin geri kazanımı iyi kalitedeki filiz ile yapılır. Artık metal tek değerlikli bakır oksitlenir, dilate aşitte çözünür ve bakır çamurdan uzaklaştırılır.

Demir çelik sanayinde akişkanlaştırıcı (floks yapıcı) olarak kaynak çubuklarında kullanılır. Yilda onbin ton mangan, daha çokda oksitleri (MnO_2 , Mn_3O_4 ve diğerleri) karbonat ve hidratlar, ferromangan, silislimangan, spieglesin uygun karışımında kullanılır.

2.3: KİMYA SANAYİNDE

2.3.1: GÜBREDE: Mangansülfatın geniş kullanımı sprey şeklinde yada standart gübrelerle karıştırılarak kullanılmıştır. MnO_2 kullanımını manganı yavaş ve üniform bir hızla vermesi nedeniyle elementten max. yararlanmayı sağladığı için avantajlidir. Yapay MnO_2 suda suspanse edilir ve bir sprey şeklinde kullanılır. Karbonik asidli atmosferde mangan çözülerek yapraklara iyi ve hızlı mangan verilmesini sağlar. Gübre uygulamasında çok saf bileşike gerek yoktur. Manganla birlikte bulunabilecek küçük mikardaki elementlerin faydası vardır.

2.3.2:HIDROKINON BOYA VE PİGMENTLERDE: MnO_2 'nin geniş bir miktarı hidrokinon üretiminde kullanılır. $MnSO_4$ yan ürün olarak elde edilir. $MnSO_4$ alizarin'de purpurinin üretiminde oksidan olarak kullanılır. Yeşil, mavi, mor dekoratif pigment yapımında mangan (+5) kullanılır. Kahverengi pigmentlerin bileşimi dioksittir. MnO_2 matbaa mürekkebinde karbon siyahı yerine kullanılır.

2.3.3:CAM VE EMAYEDE: MnO_2 'nin en eski kullanım alanı cam endüstrisinde renksizleştirme, camın rengini açma ve camı hafif renklendirme işlemleridir. Camcı sabunu olarak bilinir. Hafif pembe renklendirmede, camda demir bileşiklerinin neden olduğu yeşil rengi gidermede kullanılır. Eğer mangan karışımında demir çoksa renk ayarı istenen sonucu vermez. Günümüzde özel uygulamalarda MnO_2 yerine selenyum kullanılmaktadır.

Yüksek tenörlü MnO_2 filizi camı renklendirmede kullanılmaktadır. Kullanılan miktarla bağlı olarak pembe-mordan siyaha kadar değişen renklér elde edilir. Oluşan renk diğer reaktiflere ve onların miktarına, fırın sıcaklığına, camın çeşidine ve fırın atmosferine (yüksektgen yada indirgen) bağlıdır.

Amethyst renginde kurşun potas camı üretilmiştir. Soda camının rengi kırmızımsı violettir. MnO_2 ve mavi cam tozu ile koyu kırmızı cam yapılmıştır. %3-6 kobaltoksit bulunan ve mavi toz olarak isimlendirilen camın kombinasyonunun kullanımı ile MnO_2 özel ısı lambalarında kırmızı cam olarak kullanılmıştır. Mangan ve demiroksit karışımı kullanılarak koyu kırmızı kahverengi cam yapılmıştır. Yeşilimsi bir floresans veren tetrahedral form özel durumlarda mangan katılarak oluşturulur.

2.3.4:SERAMİKLERDE: Pembe mangan aluminat döşeme çinilerine renk verici olarak kullanılır. Benzer madde duvar fayanslarında ve diğer porselende glazur olarak kullanılır. Seramikler için siyah ve koyu kahve glazur bayalarında MnO_2 , metaloksit bileşenlerinden biridir. MnO_2 'nin siyah kobaltoksitle bileşenleri koyu kahvedir. Çelik kaplamasında kullanılan emaye tozu az miktarda mangan ve kobalt oksit içerir. Bu bileşim demir qövdəyle daha sağlam bağlanma özelliğine sahiptir. Emaye tozunda manganın ortalama %1.9'u kullanılır. Buna rağmen bazı formüllerde %6.8'e çıkabilir. Cok fazla mangan kullanıldığında emayeyi kırılgan yapar.

Emayede diger bileşenlerin oksidasyonunun tamamlanmasında yararlıdır. İstenilen karışımın erimesine ve astar tabakasının çok aşırı sıcaklığa dayanmasında kullanılır. Beyaz gövdəde MnO_2 aluminyuma eklendiğinde bir mineralizor gibi hareket eder. Izolaturde ve benzer üretimlerde yüksek sıcaklıklara dayanıklı elektrik malzemelerinin yapımında kullanılır. Bu spinel oksit karışımı koyu kırmızı kahve porselen rengi oluşturur.

Cömlek sanayinde MnO_2 ile çok stabil kırmızı, kahve, pembe - mor rənkler qövdəye verilir.

2.3.5:TUĞLA VE CİMENTODA: Tuğla yüzeyinin benekli yada damarlı olması kaba purilizit cəvher yada ince öxtülmüş serpenti filiz ile saqlanır. Cok uniform renklendirme çok iyi mineralin kıl ile

karistirilmasiyla elde edilir. Rengin acikligi - koyuluğu katilan filiz miktarina baglidir.

2.3.6: KATALİZÖR OLARAK: Parafinin dehidrojenasyonunda manganoksitler katalizor olarak kullanilir.

2.3.7: ELEKTRONİKTE KULLANIMI: Manganin bu alanda en genis kullanimi ferritler icsesinde termal oksitlenmesidir. %10-30 cinko-mangan bilesimi oksit olarak kullanilir. TV alisicilarinda, transmitlerde, mikro dalga boylu ampfifikatörlerde, radyolarda, kompitur hafizasında ve diger pek çok elektronik ekipmanlarda uygulama yeri bulmustur. Manganoksitler diger tip ferritlerin karekteristiklerini modifiye etmekte kullanilir.

2.3.8: DiGER KULLANIM ALANLARI: Mangandioksit yükseltici olarak emniyet kibritlerinde ve işaret fişeklerinde kullanilir. $KMnO_4$ qibi MnO_2 de gaz saflastırılmasında ve hidrojen sulfit absorblanmasında kullanilir. Dioksit bazli kalıplanabilir eksotermik bileşiklerin bir bileşeni olarak döküm endüstrisinde ilave isi elde etmede kullanilir. Bu sayede erimiş metal ana doküm katılaşincaya kadar sıvı halde kalır. Yağ yakilan boillerden is ve kurumları uzaklaştırmak için bazı maddeler mangan sabunu ile birlikte kullanilir.

3. MANGANDİOKSİDİN ÜRETİM YÖNTEMLERİ

Mangan dioksit birçok yöntemle elde edilebilmekte olup bunlar aşağıda incelenmektedir.

3.1: MANGAN(VII)'NIN TERMİK PARÇALANMASIYLA ELDESİ

KMnO₄'den konsantrasyonlu HNO₃ ile yada Ba(MnO₄)₂'den konsantrasyonlu H₂SO₄ ile elde edilen HMnO₄ çözeltisinin 30-100°C'de termik parçalanmasıyla MnO₂ eldesi Mitcherlich tarafından ayrıntılı olarak anlatılmıştır.

Patlama tehlikesine karşı buzla soğutulmuş aside ince toz haline getirilmiş KMnO₄ küçük porsiyonlarda yavaş yavaş ilave edilir. Sonunda MnO₂ yağışlı formda çözeltinin yüzeyine çıkar. Özellikle saf bir preparat saf Mn₂O₇'nin bidestile su ile quarz düzenekde 60°C'de parçalanmasıyla elde edilir. Reaksiyon HMnO₄'un oksijen akımında soğukta parçalanmasıyla günlerce sürer. Kısa sürede olması için su banyosunda ısıtılır. Sulu 0.3 M KMnO₄'un asidli çözeltisi oda sıcaklığında ışık difüzyonu etkisiyle en az iki ayda tamamen parçalanır. Ayrılan Mn₂O₇ havada kolaylıkla parçalanarak ince taneli MnO₂ oluşturur. Parçalanmayı soğukta Ag₂O, HgO ve MnO₂ katalize eder. Sonuçta ele geçen MnO_x'in oksidasyon derecesi genelde göreceli olarak yüksektir. Yaklaşık $x=1.93$ dır. Bunun altındaki kalması olasıdır ($x=1.76$ gibi). Havada kurutulmuş preparatdaki su içeriği yaklaşık %17-19, 60°C'de kurutulmuş preparatdaki su içeriği %13-15 dir. 190°C'de preparat KMnO₄ den elde edildiğinde %2.5-3.7 düzeyinde K₂O içerir. KMnO₄'un KCl yada KCl-K₂CO₃ karışımı yanında hava akımı ile ısıtılmasıyla elde edilen MnO₂-MnO₂ olup potasyum içerir. KMnO₄'in 200°C'in üzerinde hidrotermal parçalanmasıyla α -MnO₂ elde edilir. LiMnO₄·3H₂O, NaMnO₄, KMnO₄, Ba(MnO₄)₂ ve AgMnO₄ bileşikleride termik parçalanma ile MnO₂ verir. NH₄MnO₄'in termik parçalanmasında patlamaya dikkat edilir. Ba(MnO₄)₂'in termik parçalanmasında β -MnO₂ ele geçer.

3.2: Mn(VII), (VI), (V)'İN RADYO TERMİK PARÇALANMASI İLE ELDESİ

MnO₄ çözeltileri UV, röntgen, gama ve neutron akımlarında MnO₂ ye parçalanırlar. KMnO₄'in aseton içinde rontgen akımı ile radyolizi MnO₂ verir. Mn(VI) ve (V)'in alkali çözeltileri de gama ışınları altında MnO₂ ye parçalanırlar.

3.3: PERMANGANAT ÇÖZELTİLERİNİN İNDİRGENMESİYLE ELDESİ

Aşağıda bir bölümü incelenen anorganik ve organik bir çok madde alkali, netral yada zayıf asidik çözeltilerde MnO₄ ile MnO₂ verir.

3.3.1: ANORGANİK MADDELER: Nötral yada zayıf alkali MnO₄ çözeltileri H₂O₂ ile MnO₂'e indirgenir. Präparatif amaçla elde edilir, soğuk KMnO₄ çözeltisine hızla H₂O₂ çözeltisi katılır ve yaklaşık yedi dakika kaynatılır. Başka bir yöntemle NaOH yada

KOH içeren KMnO_4 çözeltisi 70°C de H_2O_2 çözeltisi ile muamele edilir. Oksidasyon derecesi ele geçen MnO_x de $x = 1.80-1.99$ arasındadır. Bazı durumlarda $x=2$ olabilir. Ürünün su içeriği %10 düzeyindedir. Gruner'in önerdiği yöntemde kaynar KMnO_4 çözeltisine HCl damlatılır. Yada her iki çözelti birlikte 90°C ye isıtılır. Oksidasyon derecesi MnO_x fazında $1.7 < x < 1.9$ dur. Ürünün kurutulma derecesine bağlı olarak %5-40 oranında su içerir. Ayrıca potasyum içeriği yaklaşık %10 düzeyindedir. indirgenme bromür yada iyodur çözeltileriyle yürü. Bunun için kaynamış CH_3COOH 'li NaBr çözeltisi KMnO_4 çözeltisine katılır ve 5 dakika daha kaynatılır.

Wright ve Menke tarafından yazılan reaksiyonlarda SO_2 ile KMnO_4 çözeltileri renksiz olana kadar 75°C de muamele edilir ve MnO_2 ele geçer.

3.3.2: ORGANİK İNDİRGENME MADDELERİ: Birçok organik madde alkali MnO_4^- ile reaksiyona girer, nötral yada zayıf asidli çözeltiden MnO_2 oluşur. Metanolle indirgemedede kaynar, bazik KMnO_4 çözeltisi renksiz hale gelinceye kadar metanol damlatılır. Etanol, amil alkol ve gliserin kullanarakta MnO_2 elde edilebilir.

Reaksiyon sıcaklığına bağlı olarak elde edilen ürün δ veya γ - δ karışımı MnO_2 olup formülü $\text{MnO}_{1.93}$ ile $\text{MnO}_{1.938}$ arasında değişir. Üründeki su oranı sıcaklığına bağlı olarak değişir.

Oksalik asidle indirgemedede ise ele geçen ürün $20-100^\circ\text{C}$ arasında $\delta-\text{MnO}_2$ dir. Formülü $\text{MnO}_{1.91}$ olup 20°C deki reaksiyonda elde edilen ürün %10.5 su içerir. Bu nedenle formül $\text{MnO}_2 \cdot 0.5\text{H}_2\text{O}$ şeklinde yazılabilir. Üründeki K-Mn mol oranı $\text{K/Mn} : 0.32/1$ dir. Formaldehitle benzer koşullarda yapılan indirgeme benzer ürün verir. Indirgeme vasıtası olarak formik asid, formiyat ve asetonda kullanılabilir.

3.3.3: KATODİK İNDİRGENEYLE ELDESİ: Bu yöntemle 20 g KMnO_4 ve 5 ml konsantr nitrat asidi içeren çözelti 1 litreye tamamlanıp düşük akım yoğunluğunda elektroliz edilir.

3.4: Mn(V)^+ IN DISPROPORSİYONLAŞMASIYLA ELDESİ

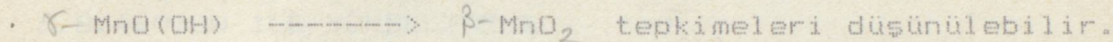
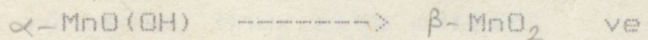
Mangan(v) bileşikleri sulu çözeltilerde stabil olmayıp disproportsiyonlaşmaya eğilimlidirler, ve MnO_2 verir. Na_3MnO_4 50°C de bu şekilde $\delta-\text{MnO}_2$ verir.

3.5: Mn(IV)^+ UN HIDROLİZİYLE ELDESİ

Herhangi bir Mn(IV) bilesiğinin soğuk, konsantr HCl asidiyle hidrolizinden MnO_2 ele geçer. MnCl_4^- den ele geçen MnO_x bol su ile seyreltilir. $x = 1.83$ dır. Mn^{4+} un sulu KNO_3 çözeltisi ile yapıian böyle bir hidrolizinde ele geçen ürün yaklaşık %4.3 K_2O içerir. K_2MnCl_6 'in 200 atm. basınç altında su ile hidrolizinde su içermeyen MnO_2 ele geçer.

3.6: MANGAN(III) OKSİTEN ELDESİ

$\delta\text{-MnO(OH)}$ (manganit) 200-310°C arasında zengin hava akımında yada O_2 akımında $\beta\text{-MnO}_2$ 'ye dönüşür. ($MnO_{1.91}$ - $MnO_{1.96}$). Aynı koşullarda $\alpha\text{-MnO(OH)}$ (graftit) 300°C de $\beta\text{-MnO}_2$ 'ye dönüşür. Ince taneli $\alpha\text{-MnO(OH)}$ 200°C de O_2 akımında önce Mn_5O_8 'e, saatler yada günler sonra $\delta\text{-MnO}_2$ 'ye dönüşür. 300°C ise Mn_5O_8 yanında $\beta\text{-MnO}_2$ hemen oluşur. İri taneli $\alpha\text{-MnO(OH)}$ kullanılması durumunda Mn_5O_8 arafazı oluşmadan $\delta\text{-MnO}_2$ oluşur.



Seyretilik mineral asidleri içersinde Mn(III) bileşikleri MnO_2 'ye erişir ve Mn(II) oluşturarak disproportsiyonlaşır. (III) değerlikli Mn tuzlarına örnek olarak $Mn_2(SO_4)_3$, $Mn(OH)_3$ ve Mn_2O_3 verilebilir. Präparatif amaçlı elde edişte Mn_2O_3 0.5-14 M HNO_3 yada H_2SO_4 ile geri soğutucu altında kaynatılır.

3.7: $Mn(NO_3)_2 \cdot XH_2O$ NUN TERMİK VE RADYOTERMİK PARÇALANMASIYLA ELDESİ

Berzellius ve Gay-Lussac $Mn(NO_3)_2 \cdot XH_2O$ dan MnO_2 eldesini hava akımı altında termik parçalanmayla açıklamışlardır. Geri dönüşlü tepkime $Mn(NO_3)_2 \cdot XH_2O$ 'nın 120-140°C de hava yada O_2 akımında ısıtılmasıyla parçalanır. Reaksiyonun tamamlanmasına yakın ürün bol su ile yıkınır, süzülür. 110-120°C de hava akımında kurutulur ve öğütülür. Bu yöntemin teknik uygulanmasında derişik $Mn(NO_3)_2$ çözeltisi 200-300°C de ki kızgın hava içine püskürtülür.

3.8: Mn(II)'NIN YÜKSELTGENMESİYLE ELDESİ

3.8.1: PERMANGANATLARLA YÜKSELTGEME

Uzun zamandır bilinen bu yöntem aşağıdaki tepkimeye göre yürütür:



$KMnO_4$ yanında sunda kolay çözünen Mn(II) tuzlarından sülfat yada, klorür yada benzerleri kullanılır. Genellikle hızlı çöken çökelti Mn^{2+} yi absorblar. Bu da zor okside olur. E.S.R analizinde çok iyi yıkamamış preparatta Mn^{2+} nin varlığı saptanmıştır. Bu yönteme oksidasyon derecesi x MnO_x için her zaman ikinin altında olmuştur.

3.8.2: Mn(VI) İLE YÜKSELTGEME

Mn^{2+} , $BaMnO_4$ ve K_2MnO_4 çözeltileri ile alkali çözelti içinde 20-200°C de yükseltgenerek elde edilen çözelti $\alpha, \gamma, \delta\text{-MnO}_2$ den oluşan fazlar karışımıdır.

3.8.3: OKSIJEN İLE YÜKSELTGEME

Mn^{2+} nin alkali çözeltide hava yada oksijen ile MnO_2 ye yükseltenmesi farklı hızdadır. Birçok durumda amorf aşırı su

İçeren MnO_x ($1.3 < x < 1.5$) elde edilir. Taze çöktürülmüş $Mn(OH)_2$ bekletilmiş cökeltiye göre oksidasyona daha kolay adapte olur. Bu yöntemde alkaliler önemli rol oynar. $NaOH$ ve KOH katalitik etkileriyle verimi %70'e yükseltmektedirler. Bunun yanında CaO , SnO_2 , kırmızı PbO_2 , Fe_2O_3 , $CaCl_2$, $CuCl_2$, gliserin, dekstrin ve iyodda katalitik etki gösterirler. Verim saf O_2 kullanılması halinde, hava kullanımına göre daha fazla olur. Yine $0^\circ C$ de $45^\circ C$ ye göre daha fazla olur. Taze hazırlanmış $NaOH$ içeren 0.5M $Mn(NO_3)_2$ çözeltisi atmosfer sıcaklığında 4-5 saat 2.5 lt/dak O_2 akımına tabi tutulur. Cökelti günlerce P_2O_5 üzerinde vakumda kurutulur. Bu yöntemle MnO_2 elde edilir.

3.8.4: OZON İLE YÜKSELTGEME

Bu yöntemle nötral yada zayıf asidik sulu Mn(II) tuzu çözeltisi ozonize edilmiş hava yada ozonize edilmiş oksijenle muamele edilir. Ozon MnO , Mn^{2+} , MnO yada MnS süspansiyonlarını MnO_2 'e okside eder. Oksidasyon ozonize edilmiş oksijen ile ozonize edilmiş havadan daha hızlı yürür. Operasyon sırasında sıcaklık $20-80^\circ C$ arası, oksidasyon derecesi x ise 1.72-1.79 arasındadır.

3.8.5: HALOJENLERLE YÜKSELTGEME

Uzun zamandır bilinen bu yöntemle örneğin klor akımı $MnCO_3$ süspansiyonuna verilir. Yada asetatla tamponlanmış Mn^{2+} tuzu çözeltisi $50-100^\circ C$ ye ısıtılır. Tampon çözelti yerine pridin de kullanılır. Güneş ışığı altında reaksiyon karanlıktakine göre daha hızlı ve verimli bir şekilde yürür. Clor gibi brom ile yapılan oksidasyon da uzun zamandır kullanılmaktadır. Brom direkt olarak, bromlu su şeklinde yada KBr çözeltisi şeklinde Mn^{2+} çözeltisine damlatılır. Zayıf H_2SO_4 'lu dondurulmuş Mn^{2+} tuzu çözeltisi foluor ile %95 verimle MnO_2 'e okside olur.

3.8.6: HİPOHALOJENİTLERLE YÜKSELTGENME

Hipoklorit içeren Mn^{2+} tuzu çözeltisi $Na(ClO)$ veya $Ca(ClO)_2$ yada katı $Ca(ClO)_2$ ile muamele edilir. Sıcak ve nötral yada aşetik asidli ortamda çalışılması daha uygundur. Oksidasyon derecesi her zaman ikinin altında kalmakta $Ca(ClO)_2$ ile yapılan uygulamada %11.8 kadar su içermektedir.

3.8.7: KLORAT VE BROMATLA YÜKSELTGEME

Bu oksidasyon yönteminde $Mn(NO_3)_2$ çözeltisi derişik HNO_3 ile asidlendirilir. Daha sonra katı $KClO_3$ ile muamele edilen karışımda $Mn(ClO_3)_2$ ele geçer. Bu çözelti asidik ortamda ısındığında MnO_2 ele geçer. Aynı işlem bromatlada yapılabilir.

3.8.8: PEROKSİDİSULFAT İLE YÜKSELTGEME

Marshall yönteminde sıcak bir Mn^{2+} tuzu çözeltisine katı $K_2S_2O_8$ 'in yada $(NH_4)_2S_2O_8$ 'in porsiyonlar halinde aşırısı ilave edilir. Açıktı oksidasyonu MnO_2 aşamasına kadar katalize eder. Oda sıcaklığında NH_4^+ iyonlarının fazlasının varlığında cökelti oluşmaz.

Preparatif hazırlamada 50g $MnSO_4 \cdot H_2O$ 'nın ilt sudaki çözeltisine 100 ml 2M H_2SO_4 katılıp kaynayana kadar ısıtıılır. Kaynamış çözeltiye 113 g katı $(NH_4)_2S_2O_8$ ilave edilir ve cökelti $60^\circ C$ de $MnO_{1.95} \cdot 0.25H_2O$ formülündedir. Kristaller elde edilen cökeltinin 4 saat süre ile 2M HNO_3 'nın geri soğutucu altında kaynatılması ile daha iyileştirilebilir. Bu yöntemle $\gamma\text{-MnO}_2$ ele geçer. Thirsk & $\gamma\text{-MnO}_2$ yanında NH_4^+ lu ortamda aynı oranda $\alpha\text{-MnO}_2$ elde etmiştir.

3.8.9: DİĞER OKSIDASYON ARAÇLARIYLA ELDEŞİ

Kaynar halde nötr veya H_2SO_4 lu Mn^{2+} tuzu çözeltisi PbO_2 ile su içeren $\gamma\text{-MnO}_2$ ye okside olur. Asidli çözeltide ara ürün olarak MnO_4^- 'a rastlanır. Mn^{2+} fazlası $Mn(IV)$ 'e dönüşür. Ara ürün $\gamma\text{-MnO}_2$ olup az miktarda $\beta\text{-MnO}_2$ içerir.

$NaNO_3$ 'in yada KNO_3 'in $NaOH$ ile 1:1 karışımı $MnCl_2$ 'u, $MnSO_4$ yada $Mn(NO_3)_2$ 'i $\gamma\text{-MnO}_2$ ye okside eder.

Kromik asidin $pH>0$ 'da Mn^{2+} 'i $\gamma\text{-MnO}_2$ 'e okside etmesi termodinamik olarak olası değildir. Fakat izopropil alkol katalizörliğinde $HClO_4$ asidli çözeltisi Mn^{2+} tuzu çözeltisini $25^\circ C$ de $\gamma\text{-MnO}_2$ 'e dönüştürür. Reaksiyon sekonder butil alkolde de olur.

3.9: $\gamma\text{-MnO}_2$ MODİFİKASYONLARININ SAF ELDEŞİ

3.9.1: $\alpha\text{-MnO}_2$: Çok sayıda saf $\gamma\text{-MnO}_2$ elde etme yöntemi vardır. Bunların çoğununda K^+ veya diğer büyük katyonların aşırısı kristal şebekesini stabilize etmek için ortamda bulunur. Örneğin $Mn(II)$ 'in MnO_4^- , O_3 , OCl^- ile oksidasyononda olduğu gibi.. Bundan başka $\alpha\text{-MnO}_2$, $\gamma\text{-ve ya}\delta\text{-MnO}_2$ fazlarını fazla miktarda içeren K^+ yada NH_4^+ iyonları içeren çözelti ile muamelesindende elde edilir.

3.9.2: $\beta\text{-MnO}_2$: $\beta\text{-MnO}_2$ 'nin saf olarak elde edilmesi için en önemli yöntem $Mn(NO_3)_2 \cdot 4H_2O$ 'nın termik parçalanmasıdır. Buna rağmen saf $\beta\text{-MnO}_2$ sıcakta $\gamma\text{-MnO}_2$ ye dönüşmektedir.

3.9.3: $\delta\text{-MnO}_2$: Elektrolitik elde edişte kural olarak saf $\gamma\text{-MnO}_2$ ele geçer. Ayrıca Mn^{2+} 'nin O_3 , $S_2O_8^{2-}$ yada PbO_2 ile oksidasyonu da $\delta\text{-MnO}_2$ verir.

3.9.4: $\zeta\text{-MnO}_2$: MnO_4^- 'tin nötral yada alkali çözeltisinin reduksiyonunda $20-100^\circ C$ de seçimli olarak $\zeta\text{-MnO}_2$ ele geçer. Redüksiyon aracı olarak H_2O_2 , Br^- , SO_4^{2-} metanol, oksalik asid ve formaldehit de kullanılabilir. Mn^{2+} 'nin O_2 , H_2O_2 , B_2 ve DBr^- ile yapılan oksidasyonu ile de saf $\zeta\text{-MnO}_2$ ele geçer.

3.9.5: $\xi\text{-MnO}_2$: 40 g $Mn(NO_3)_2 \cdot 4H_2O$, 200 ml bidental su ile 150 $^\circ C$ de 100 saat süre ile kapalı bir tüpte ısıtilırsa 3-10 mg $\xi\text{-MnO}_2$ ele geçer. Reaksiyondan önce çözelti $NaOH$ ile $pH=3-4$ 'e getirilirse yada $LiNO_3$ ilave edilirse verim yükseltilenbilir.

180 içeren su ile yapılan araştırmalarda $\xi\text{-MnO}_2$ 'nın şebekesine suyun geçtiği anlaşılmıştır. $\xi\text{-MnO}_2$ ise sulu $Mn(NO_3)_2 \cdot 4H_2O$ 'nın $\gamma\text{-MnO(OH)}$ süspansiyonundan yada $MnCO_3$ 'in azot akımında Br_2 ile 80 $^\circ C$ de muamelesinden elde edilir.

4: PIL SANAYİ İÇİN MnO_2 ÜRETİMİ

Pil cevheri kimyasal, sentetik ve elektrolitik olarak elde edilir.

4.1: KİMYASAL İŞLEMLE PIL CEVHERİ

Cevher mineral asidle leach edilerek pil kullanımı için bazı metalik safsızlıklarla birlikte kısmi olarak MnO 'e indirgenir. MnO_2 kuru pilde mükemmel bir etkiye sahiptir. %20-200 mesh'den geçen yüksek tenörlü pyrolusit cevheri indirgeyici bir atmosferle yakılır veya 600-700°C de karbonla muamele edilir ve sesquioxide (Mn_2O_3) yapısı oluşur. Daha sonra %10'luk H_2SO_4 ile leach hidroextraktörde yapılır. HCl veya H_2SO_4 + HF karışımında kullanılabilir. Leach ile mangan(II) bileşiği %15'e ulaşır. As, Sb, Ni, Cr, Co, Cu uzaklaştırılır. Eğer HF kullanılmışsa silis de uzaklaştırılır. Daha sonra metaryal süzülür, yıkılır, kurutulur.

4.2: SENTETİK İŞLEMLE PIL CEVHERİ

Cevher, kimyasal üretim için 600°C de indirgeyici gaz fazası veya karbon fazası ile birkaç saat kızdırılır. Indirgenme sonunda pyrolusite MnO 'e dönüşür. Bu kavurma ürünü %8-10'luk HNO_3 içerisinde dağıtilır. Parçalanma işlemi HNO_3 ile 85°C de 1 saat sürer. Manganitrat çözeltisi nötrdir, ($MnO(OH)$) ve 30 °Be'dir. Çözelti cevherin çözünmeyen kısmından ayrılır. Hacim yarıya inene kadar evaparatorde kurutulur. Bu noktada ayrılan $Mn(NO_3)_2$ yeniden kullanım için nitrik asidde absorblanır. Artık $Mn(NO_3)_2$ çözeltisi asidlidir. Leach aşamasına gönderilir. Safsızlıkların cinsine bağlı olarak prosesde bazı düşük tenörlü cevherlerde kullanılabilir.

Diğer bir proseste $MnSO_4$ çözeltisi (37 g/lt Mn) bir tank içinde etkili hava akımı ile litrede 120 g NaOH ile mangan oksidlenir. Hidrate mangan oksitler 4 saat süreyle alkali miktarı 0.03-0.01N inene kadar muamele edilir. 1-2 saat daha havalandırmaya devam edilir, oksidasyon %80-85 oranında tamamlanır. Kavurma sırasında MnO_2 olusur. 85-155 °C sıcaklık arasındaki kurutma sıcaklığı ve çözelti içindeki alkali miktarına bağlıdır. Çözülebilir tuzları uzaklaştmak ve uygun pH da olmasını sağlamak için yıkama gereklidir. Son ürün %4 oranında suda çözünmeyen sodyum bileşiği içerir ve $\delta-MnO_2$ yapısındadır. Pilde kullanılan yoğunluğa getirmek için küreli deşirmende ögütülür.

Manganoxid üretiminin bir başka şekli 5N $MnSO_4$ çözeltisi ve amonyak ile muameledir. Oksijen ve hava basıncı kaba bir spreyli meme yardımıyla verilir. Oksijen partikullerinin kısmı basıncı 10 psi'dir ve sıcaklık 23-30°C dir. Hızlı bir oksidasyon için $(NH_4)_2SO_4$ konsantrasyonu 45g/lt'yi aşmamalıdır. Ürün %70-80 MnO_2 içerir.

Manganese Chemical Corp. sodyumkloratı MnO_2 'i oksitleyici bir ajan olarak kullanmıştır. Manganın tamamı kloratla oksitlenmediğinden bir miktar MnO_2 katalizör olarak katılır.

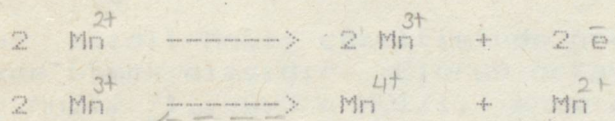
MnO_2 'in bazı türleri katalitik aktiviteye sahiptir. Klorat oksidasyonundan üretilen dioxid kendi kendini katalizlemez. Aktive edilmiş katalitik MnO_2 'in çeşitli kombinasyonları ve klorattan elde edilen MnO_2 çok iyi pil performansına sahiptir. MnO_2 'in katalizör olarak kullanıldığı ve $MnCO_3$ 'un kavrulmasıyla elde edilen MnO_2 istenilen özelliğe sahiptir. Bu prosesde $MnCO_3$ kontrol altında %80 MnO_2 olana kadar kavrulur. Okside olmayan mangan H_2SO_4 ile leach edilir. Asid çamuru $MnSO_4$ ve MnO_2 içerir. Çamura daha sonra sodyumklorat ve ilave $MnSO_4$ katılır ve kızdırılır. Mangandioxidin katalizinde klorat iyonları tamamen klora indirgenir. Bu proses önemli ve ekonomiktir. Manganın düşük oxidlerinin disproporsiyonlaşması ile MnO_2 tipleri pil dioxidi olarak kullanılır. (katalitik MnO gibi). $KMnO_4$ yükseltgen olarak kullanıldığı organik reaksiyonlarda MnO_2 yan ürün olarak elde edilir ve pil oksidi olarak kullanılır.

4.3: ELEKTROLİTİK MANGANDİOXİD ÜRETİMİ

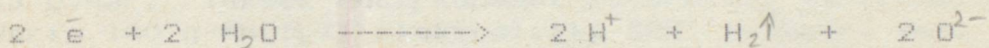
MnO_2 , kurşun, grafit yada titan anodlar kullanılarak sulu $MnSO_4 - H_2SO_4$ çözeltilerinden 90-94°C sıcaklıkta elektroliz ile elde edilir. Ele geçen ürün β -formdadır. Dioxid daima düşük oksid ve su içerir. Elde edilen MnO_2 'in pil özellikleri elektrolit bileşimi, hücre sıcaklığı ve anod akım yoğunluğuna bağlıdır.

Elektroliz sırasında anodda MnO_2 , katodda hidrojen açığa çıkar.

Anod tepkimesi:



Katod tepkimesi:



Toplam tepkime:



Tez konusu olarak seçilen bu konu aşağıdaki ayrımda ayrıntılı olarak incelenecaktır.

5. ELEKTROLİTİK MANGANDİOXİD ÜRETİMİ

5.1: ELEKTROLİTLER

Alişalmış olarak elektrolizde grafit elektrod kullanımında sülfat asidli mangan sülfat çözeltisi kullanılacağı gibi koşullara göre mangan nitrat, mangan klorur yada mangan asetat çözeltileri de kullanılabilir. Klorür yada asetat çözeltileri kullanıldığında ayrısan cökelti ince küresel yapida

partiküllerden oluşur. Nitrat yada sülfat çözeltileri kullanıldığından ise çökelti daha iri kristallerden oluşur. MnO_2 eldesinde nitrat yada sülfat banyoları arasında elektrokimyasal aktivite olarak önemli bir fark yoktur. Nitrat çözeltisi kullanılarak elde edilen MnO_2 sülfat çözeltisi kullanılarak elde edilene göre genelde daha çok çatlak oluşturmaya eğilimlidir.

Elektrolite az miktarda HNO_3 ilave edilmesi Mn^{3+} iyonlarının oluşmasını engeller. Optimum HNO_3 miktarı 250 g/l't ve $d=1.84$ olan H_2SO_4 'den 4 ml içeren elektrolit için 10 ml HNO_3 /l't'dir. Asetat çözeltisinden elde edilen MnO_2 daha fazla oranda düşük oksidleri safsızlık olarak içerir. Nitrat, sülfat ayrı ayrı ve nitrat-sülfat karışımı için yapılan karşılaştırılmalı incelemeler çözelti içindeki yüksek Mn^{3+} derişiminin $\alpha-MnO_2$ oranını yükselttiği görülmüştür.

5.1.1: NİTRAT ÇÖZELTİSİ

30-120 g Mn^{2+} /l içerecek şekilde $Mn(NO_3)_2$ ve 5-15 g HNO_3 /l çözeltileri 85-95 °C de anod akım yoğunluğu $J = 0.5-1.5$ A/dm² olacak şekilde elektrolize tabi tutulduğunda anod üzerinde MnO %92-93 verimle birikir. $J = 1.3$ iken 85 °C de akım verimi %85.4, 21 °C de ise yalnızca %29.7 dir. Anod olarak aside dayanıklı titan kullanılabilir. Akım verimi yükselen H^+ iyonu derişimi ile düşer. Bu durum özellikle düşük Mn^{2+} derişimi ve düşük sıcaklıklar için söz konusudur.

5.1.2: KLORÜR ÇÖZELTİSİ

Klorür asidli $MnCl_2$ çözeltisinde grafit elektrodu kullanarak MnO_2 elde etmek olasıdır. Clorun ortaya çıkmadığı uygun koşullar 100 g $MnCl_2$ /l, 0-3 g HCl /l, anod akım yoğunluğu 1 A/dm² ve sıcaklık 80-90 °C'dir. Özgül ağırlığı yüksek ve iri kristalli MnO_2 Leclanche pillerde kullanılmaya uygundur.. Gerilim 2.1-2.4 arasında öynar. Yüksek $MnCl_2$ konsantrasyonu Cl^- ayrılımasına neden olur. Verim 100 g $MnCl_2$ /l elektrolitte %89'a düşer. Aynı şekilde HCl derişiminin artmasıyla da verim düşer. Derişim 4-10 g/l'ye ulaştığında clor gazı çıkıştı başlar. Akım yoğunluğu 2-3 A/dm² değerini bulduğunda anodda tahribatlar olur.

300 g $MnCl_2$ /l ve 5 g HCl /l çözeltide Pt anod kullanılarak ince taneli çökelti elde edilebilir. Düşük HCl derişimi, düşük akım yoğunluğu ve gözenekli grafit elektrod kullanılarak Mn^{2+} iyonlarının oksidasyonu iyileştirilebilir. Ele geçen ürün $MnCl_2$ 'un hidroliz ürününe çok benzer.

5.1.3: SÜLFAT ÇÖZELTİSİ

Pil aktif MnO_2 elektrolizinde coşunlukla kullanılan banyo 500-100 g $MnSO_4$ /l ve 5-75 g H_2SO_4 /l içerir. Oksit yaklaşık olarak 0.5-1 A/dm² akım yoğunlığında ve 90-94 °C'de ayrışır. Akım verimi % 90-95 düzeyindedir. Burada ele geçen ürün bileşimi söyledir: %90-98 MnO_2 , %3.10-3.72 MnO , %5.1-7.0 H_2O 'dur. 200 g $MnSO_4$ /l ve 50 g/l H_2SO_4 içeren elektrolit ile yapılan uygulamada ise ele geçen ürün %90 MnO_2 , %10 H_2O ve eser miktarda oksidleri içerir.

Elektrolit, bir manjan cevherinin H_2SO_4 ile

Çözünürleştirilmesinden ele geçecek uygun hazırlama ve temizlemelerden sonra olanaklar ölçüsünde gayri safiyet içermeyecek şekilde olmalıdır. Diyaframlı hürelerin kullanımı ile aynı anda anodda MnO_2 , katodda manganın elde edildiği elektroliz yöntemleri vardır.

5.2: ELEKTRODLAR

Sülfat asidli çözelti kullanılarak MnO_2 'nin elektrolitik eldesi yapılırken anod olarak grafit, kurşun alaşımları yada saf titan kullanılabilir. Kurşun anodun dezavantajı ele geçen çökeltide kurşundan dolayı çok az miktarda safsızlıklar olabilmektedir. Bu durum MnO_2 'nin Leaclance pillerinin ömrünü kısaltmaktadır. Grafit anod kullanımında ise çökelti sıkıcı anod yüzeyine yapışıp tahribata neden olabilmektedir. Saf titan anod sülfat asidi içerisinde mükemmel bir korrozyon dayanımına sahiptir.

5.2.1: KARBON ANOD

Karbon yada grafit anod elektroliz gerilimi sıcak sülfat asidinin ayrışma geriliminden (1.7 V) düşük tutulduğu sürece elektrolizde sıcak sülfat asidli $MnSO_4$ çözeltisi kullanılması uygundur.

$MnSO_4$ çözeltisinde anod korrozyonu $60^{\circ}C$ ve $5 A/dm^2$ de maximuma ulaşır ve $12.5 A/dm^2$ değerinde MnO verimi düşer. Bundan dolayı anod pasiflik kazanır.

Grafit elektrod elektroliz öncesi bir PbO_2 tabakasıyla kaplanır. Böylece çökeltinin ince toz halinde olması ve yüksek elektrokimyasal aktivite kazanması sağlanmış olur. Çökelti anod üzerine yapışmadığı için kontinü bir elektroliz yöntemi sağlanmış olur.

5.2.2: Pb ve Pb ALAŞIMLI ANODLAR

Uyulamada Pb anodlar kullanımı olanaklıdır. Bu, okside olmayan düzgün anod yüzeyine çökelti iyi yapışır. Pb anod amonyumsülfat ilave edilmiş mangansülfat çözeltisi içinde kullanıldığında polarizasyon eğrisi $18^{\circ}C$ de yönteme bağlı olarak $PbSO_4$, PbO_2 ve son olarak MnO_2 'den oluşan üç potansiyel sırayla gösterir.

5.2.3: TİTAN, TİTAN ALAŞIMLARI VE FERROSİLİSYUM ALAŞIMLARI

Sülfatasidli $MnSO_4$ çözeltisinin elektroliziyle MnO_2 elde etmede titan anodlar kullanılabilir. Elektroliz sırasında anodların pasivize olmalarına engel olmak için 2M $MnSO_4$ ve 10-20 g H_2SO_4 /l çözeltileri ile çalışılmalıdır. 30 g H_2SO_4 den fazla asid kullanılırsa pasivize olma ve oksijen çıkışının gözlenir.

100 g $MnSO_4$ /l ve 20 g H_2SO_4 /l çözeltileri, 0.45 mA/cm^2 akım yoğunluğunda elektroliz edildiğinde anod anında TiO_2 'den oluşan bir örtü ile kaplanır. Anod potansiyeli $1.24-1.34^{\circ}$ e çıkar. Pasivize olmayı engellemek için titan anod yüzeyini platinle kaplamak başka bir yöntemdir.

5.2.4: TOZ KARBON ELEKTRODU

Oksijen yada hidrojen absorbe edilmiş karbon tanelerinden oluşan katod ve anodla yapılan alternatif bir elektrolizde yalnızca elektroliz tepkimesi için gerekli olan gerilim kısmını ölçüde düşmektedir.

Katodda bakırın, anodda MnO_2 'nın ayrıstiği kombine bir elektrolizde sülfat asidli $MnSO_4$ elektroliti kullanıldığında gerekli gerilim 2.6 V'dan 1.6 V'a düşmektedir. Gerilim düşüşündeki yüksekliğin miktarı karbon tozlarının kalitelerine bağlı olarak değişir.

6: ELEKTROLİTİK MANGANDIOXİD ÜRETİM YÖNTEMLERİ

6.1: TARİHİ GELİŞİMİ

Nötral ve asidik Mangan (II)tuzlarının elektrolizi sırasında çözünmez anod üzerinde mangan(IV)oksit ayrışır. Bu tepkime ilk kez Bequerel tarafından manganasetat çözeltisinin elektrolizi ile ortaya konmuştur. Kissin ve Steinhoff ilk defa çalışma hücresi boyunca voltaj düşmesini incelemişlerdir. Marx-Schrier ikilisi ve Hoffman depositin iletken olmadığını ve elektriksel geçişlerin depositin qözenekleri arasından olduğunu buldular. von Arsdale ve Máier'e göre elektrod prosesi deposit/elektrod ara yüzeyinde ilerlemektedir. G.W Nicols ve D.W Storey endüstriyel ölçüde E.M.D. üreten prosesleri geliştirdiler. J.C.Schumacher ilk defa düşük tenörlü cevherden E.M.D. üretimini gerçekleştirdi.

6.2: ELEKTROLİTİK MANGANDIOXİD ÜRETİM YÖNTEMLERİNİN İNCELENMESİ

Elektrokimyasal olarak MnO_2 üretim yöntemleri bazı küçük farklılıklar göstermekle birlikte temel prensipleri aynıdır. Üretim iki aşamadan oluşmaktadır.

- 1.) Mangan cevherinden saf Mn(II) tuzu çözeltisi hazırlama
- 2.) Saf Mn(II) tuzu çözeltisinden anodik oksidasyonla Mn(IV) iyonunu oluşturmak.

6.2.1: SCHUMACHER PROSESİ

Schumacher Prosesi yüksek kaliteli cevherlere uygunlanacağı gibi, prosesi asıl önemli kılan düşük kaliteli cevherlere uygunlanmasıdır. Üretim işleminde cevherin kaynağı önemli değildir. Elektroliz için saf bir $MnSO_4$ çözeltisi hazırlamak yeterlidir. Prosesde uygunlanan işlemler aşağıda belirtilmiştir.

a.) Kırma ve öğütme: Maden çeneli kırıcılarla kırılır, sonra çekiçli deşirmende 20 mesh boyutunda olana kadar öğütülür.

b.) Kalsınasyon ve indirgeme: Cevherdeki çözünmez, yüksek oksidlerin asidde çözünebilir düşük oksitlere dönüştürülmesi gereklidir. Bunun için, bir döner fırında $750^{\circ}C$ de, 20-48 dak. Bunker "C" yağı ile karıştırılır. Yağ ve cevherin iyi bir temasının sağlanması için kavurma fırınına besleme yapılmadan önce cevherle indirgeyici yağın karıştırılması emulgatör ilavesiyle bilyali bir deşirmende yapılır. Bu yöntemle yüksek oksidlerim %98'i MnO_2 'e çevrilir ve cevher leach yapılır.

c.) Leach işlemi: Asidde çözünebilir hale gelen cevher, taze hazırlanmış H_2SO_4 ilave edilen kullanılmış elektrolit çözeltisiyle seri halde bağlanmış leach tanklarında çözündürülür. 75 g/l H_2SO_4 derişimindeki leach çözeltisi $60^{\circ}C$ de 2 ssat süreyle indirgenmiş cevhəri çözer. Cevher çözünerek $MnSO_4$ oluşurken, cevherdeki ağır metal safsızlıklar da çözülür. Bunun için hazırlanan elektrolitik $MnSO_4$ çözeltisi saflaştırma işlemine tabi

tutulur.

d.) Saflaştırma işlemleri: Durultma tankında leach çözeltisinde çözünmeyen safsızlıklar süzülerek ayrılır. Leach çözeltisi BaS tankına qönderilir. pH, 3-3.5'e ayarlanarak, BaS ilavesiyle ağır metal safsızlıkları sülfürleri halinde çöktürülür. Aynı tankta CaO eklenerek pH, 7.2-7.5 arasını qetirilir. Sülür çamuru başka bir durultucu tankında çöktürülür. Teorik pH'nın daha düşük olmasına rağmen bu pH aralığında bazı demir ve manganez da çöker. Çöken demirsülür ve mangansülürün tekrar çözünmesi çok zordur. Kayipları en aza indirmek için çöken çamur prosesde tekrardolaştırılır.

Demirin qiderilmesi (kolloidal sülür, arsenik ve organiklerle beraber) üç havalandırma tankında hava ile oksidasyon tekniğiyle yapılır. Havalandırma tanklarında pH 5,6 da en fazla 7 de tutulur. Havalandırma tanklarıyla çabuk çökme, kolay filtre edebilme olanakları saqlanmıştır. Çöken safsızlıklar döner filtrde ayrılır, saf MnSO₄ çözeltisi elektroliz hücrelerine beslenir.

e.) Elektroliz: Saf MnSO₄ çözeltisi elektroliz hücrelerine beslenir, iyonik oksidasyonla Mn(II) iyonları Mn(IV) iyonlarına yükseltgənerek elektrod yüzeyinde MnO₂ halinde birikir.

Toplam elektroliz hücresi tepkimesini şöyle gösterebiliriz:



anod tepkimesi ise şöyle gösterilir:



Toplam 33 hücre vardır. Herbir hücre 600 anod ve 600 katoddan oluşmaktadır. Toplam anod yüzey alanı 304,8 m² ve katodların yüzey alanı 183 m², hücrenin boyutları 1.5*2.7*1.37 m ve hücre asid tuşasıyla kaplanmış ayrıca asid geçirmeyen malzemeyle çevrilmiştir. Hücre koşulları aşağıda verilmiştir:

akım	7000-9000 amp
voltaj	2.2-2.6 V
anod akım yoğunluğu	0.75-1 A/dm ²
katod akım yoğunluğu	1.24-1.6 A/cm ²
anod metaryeli	grafit
hücre sıcaklığı	90-94°C
çalışma süresi	25-35 gün
gerekli enerji	2.205 kWh/kg üründe
deposit/anod oranı	36 : 1

MnO₂ grafit çubuk üzerinde geçirgen bir diyafram halinde birikir. Depositin kalınlığı 1 inch veya daha fazla oluncaya kadar grafit aktif madde olmaya devam eder.

Schumacher'e göre yöntem bir klasik elektrolitik birikme yöntemi deildir. İyon ve anodun doğrudan teması olmamakta büyük bir olasılıkla ikinci bir etki ortaya çıkmaktadır. Buda elektrik yükünün birikan MnO₂ üzerindeki gözeneklerden transferini

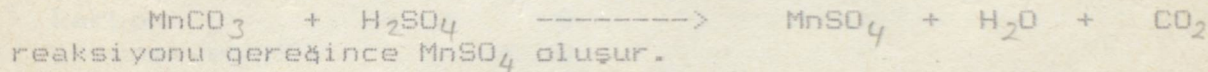
kapsamaktadır. Muhtemelen Schumacher yöntemiyle $MnSO_4$ elektrolitik hücrede MnO_2 ve H_2SO_4 'e çevrildi, çevirmede sülfat, persülfataz manganyını +2 değerliği de +4 değerliğine kimyasal oksidasyonla yükseltti ve sonunda MnO_2 hidrolizlendi.

f: Elektroliz sonrası işlemler: Elektroliz sonrasında anod üzerinde birikmiş dioxid elektrodla birlikte hücreten alınır, çeneli kırıcıda parçalanır. Grafit ve MnO_2 metalurjik yüzdüründe ayrılır ve H_2SO_4 nötralleştirilir. Sonra MnO_2 %95'i 100 mesh'den %65'i 200 mesh'den geçecek şekilde öğütülür, ürün yıkandır, süzülür ve döner kurutucuda kurutulur. Kurutma sıcaklığı mümkün olduğu kadar düşük tutulur. Çünkü 350 °C'nin üstündeki sıcaklıklarda pil aktif β - fazı pil aktif olmayan α - fazına dönüşür. En son aşama ise variller halinde paketleme ve satıştır.

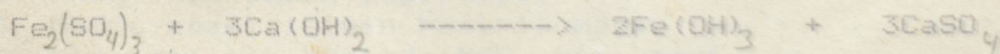
Schumacher Prosesi akış şeması aşağıda verilmiştir.

6.2.2: JAPONYA'DA UYGULANAN E.M.D. ÜRETİM YÖNTEMLERİ

Japonya'da, oksitli cevher yanında rhodochrosite (doğal manganez carbonat) şeklindeki cevherlerde kullanılmaktadır. Mitsui Mining ve Smelting Co.Ltd. elektrolitik proseslerde $MnCO_3$ cevherini kullanmışlardır. % 34 Mn içeriği cevherin % 33'ü asidde çözülür, % 4 Fe, %5 SiO₂ ve %2 nem içerir. $MnCO_3$ asidde doğrudan çözüldüğünden bir kavurma işlemine gerek yoktur. $MnCO_3$ asidde çözüldüğünde $MnSO_4$ olşturur.



Rhodochrosite önce 100 mesh'ten geçene kadar öğütülür, kömürle ısıtılan bir tankta 80-90 °C sıcaklıkta 50 q/l $MnSO_4$ ve 67 q/l H_2SO_4 içeren kullanılmış elektrolit çözeltisi ile leach edilir. Elde edilen çözeltinin saflaştırılması Schmacher ptozesine göre biraz daha farklıdır. Fe(II) iyonları önce MnO_2 yapısındaki manganez cevheri ile Fe(III) iyonuna yükseltilenir. Leach çözeltisi Fe(III) iyonunun çökme noktasına kadar nötralize edilir. Çözeltideki artık silis dekante edilir. Silis çamuru süzülür, süzümü dekantasyondan elde edilen çökelti ile birleştirilir. Sonra hava geçirilip kireç katılır, pH= 4-6 arasında ayarlanır. Oluşan çökelti süzülür ve demirin ayrıldığı tanka gönderilir.

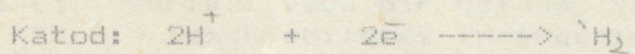
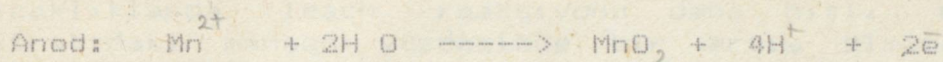


reaksiyonu gereğince $Fe(OH)_3$ ve $CaSO_4$ çöktürülür. Çok küçük miktardaki demir bile akımı düşündüğünden bu aşama önemlidir. Burdan elde edilen çözeltinin litresinde 150 q $MnSO_4$ vardır. Bu çözelti eşit hacimde kullanılmış elektrolit ile karıştırılır ve enson hücreten taşan elektrolitin litresinde 50 q $MnSO_4$, 67 q H_2SO_4 bulunacak şekilde bir hızla sürekli olarak elektrolitik hürelerle beslenir.

Hücreler kurşunla kaplanmıştır, grafit katod ve birbirinden 2.5 cm uzaklık ile konmuş kurşun alaşımı grafit ve titan anodları donatılmıştır. Dioxid 6 mm veya daha kalın, siyah, yoğun, yapışık tabaka halinde anodun üzerinde birikir. Hücre sıcaklığı 90 °C'dir. Hücreler $\times 5x$ kaybına önlemek için

yalıtilmışlardır. Akım yoğunluğu $6-10 \text{ A}/\text{ft}^2$ 'dir. Akım verimi % 80-90'dır.

Sıyrılmış dioxid şeridi kırılır. Amonyak, Na_2CO_3 veya NaOH ile nötralize edilir, kurutulur, uygun ölçülerde toz haline getirilir. Hücre reaksiyonu şöyle gösterilebilir:



Japon yöntemiyle elde edilen elektrolitik pil aktif MnO_2 'nin analizi:

MnO_2 'de aviable O_2	92.0 %
Mangan	60.0
cözülebilir mangan	0.6
nem	2.0
arsenik	0
bakır	0.0004
nikel	0
kobalt	0
kurşun	0.05
demir	0.02
sülfat	1.2
karbon	0
çözünmeyen HCl	0
alkali metaller	0
silikat	0.01
pH	5-6

6.3.3: A.B.D.'DE E.M.D. ÜRETİMİ

Amerika'da ilk defa pil aktif mangandioxid 1930'ların sonunda Burges Battery Co. tarafından yapılmıştır. Üretim miktarı yılda 7000 ton olup pil fabrikalarında kullanılmaktadır.

Proses başlıca beş aşamadan oluşmaktadır:

- 1: Filizin indirgenmesi,
- 2: MnO_2 'nin leach yapılması,
- 3: MnSO_4 çözeltisinin hazırlanması,
- 4: Elektrolitik hücrede MnO_2 birikmesi,
- 5: MnO_2 ürünlerinin son işlemleri.

Pil aktif elektrolitik MnO_2 için A.B.D.'de yerel %20 mangan içeren yüksek kaliteli filiz yada dışardan ithal edilen %55 mangan içeren yüksek kaliteli filiz başlangıç metaryeli olarak kullanıldı. Filizde mangan yanında MnO_2 ve diğer +3 değerlikli bileşikler bulunmaktadır.

Mangan filizi asid çözeltisinde çözünen 2 değerlikli yağı, kömür, kok kömürü veya doğal gaz kullanılarak 750°C de indirgenir. Reaksiyon %98-99 verimle gerçekleşir. Ekipman olarak bir döner fırın kullanılır.

Kalsine edilmiş mangان, taze hazırlanmış sülfat asidi ile zenginleştirilmiş elektrolit hüresinden çıkan kullanılmış elektrolit ile leach edilir. Leach çözeltisinin pH'sı 2-3.5, sıcaklığı 60-70 °C veya oda sıcaklığında olabilir. Yüksek sıcaklıklarda leach reaksiyonu daha hızlı olmakta fakat extraktaki mangان yüzdesinde bir artış olmamaktadır. Leach işlemi sürekli yada bir defada yapılabilir. Demir bileşikleri H_2SO_4 ile leach edilerek indirgenir. Filizdeki indirgenmeyen MnO_2 ile, çözeltideki Fe^{2+} iyonları oksitlenerek ayrıştırılırlar. Oksidasyondan emin olmak için ortama ham, ince toz edilmiş filiz katılır. Leachden sonra çözelti bileşim veya kalsit ile 6.5-7.5 pH aralığına getirilir, demir, alüminyum silikat çöker. Durultucu içinde çözünmeyen metaryelden $MnSO_4$ çözeltisi ayrılır. Çözelti durultucu içinde yıkılır, fitre edilir veya bir döner fitreden süzülür, yıkılır. Mangان sülfat çözeltisi çinko, bakır, kobalt, nikel gibi ağır metal safsızlıklarını içerir. Bunlar BaS yada H_2S katılarak sülürleri halinde çöktürülür ve fitre edilir. Nispeten saf $MnSO_4$ çözeltisi litrede 150 g $MnSO_4$ olacak şekilde hücreye beslenir.

Mangandioxid anod üzerinde tabaka halinde toplanır. Elektrolitik MnO_2 hücresi için belli bir boyut ve konstruksiyon metaryeli için genel bir değer yoktur. Şekli ve boyutu kullanılan yöntem ve anod tipine bağlıdır. American Potash ve Chemical Co. Schumacher hücresi olarak magnezyum hücrelerine anod ve katod grafit çubuklarını adapte ederek kullanmışlardır.

Pil aktif mangandioxidin A.B.D.'de üretiminde elektrolitik hüre için operasyon koşulları aşağıda verilmiştir:

Sıcaklık	90-90°C
Anod akım yoğunluğu	0.5-1 A/dm ²
Asid derişimi	5-75 g/l
$MnSO_4$ derişimi	50-100 g/l
Voltaj	2.2-2.6 Volt
Katod akım yoğunluğu	0.2-1 A/dm ²
Gerekli güç	2.5 kWh/kg
Solüsyondaki ağır metal safsızlıklarını	< 0.05 %
Katod	grafit
Anod	grafit
Anod-katod yüzeyi	2.5-5 cm ²
Akım verimi	% 90-95

Düşük eriyen wax ile $MnSO_4$ çözeltisi yüzeyi kaplanır. Böylece ısı korunur ve hava kirliliği azaltılmış olur. MnO_2 anoddan bir darbe ile yada anod ile öğütülerek alınır. Grafit ve MnO_2 birlikte ezilir ve mekanik yüzdürme ile alınır. MnO 'nin %0.5'i No.100 US standart elekten geçene kadar öğütülür. Sonra yakılır, sülfat asidi ve mangansulfat qiderilir ve pH = 4-7 arasına getirilir. Mangandioxid fitre edilir, %1 nem olana kadar kurutulur.

Elektrilitik pil aktif MnO₂'nin analizi:

Oksijen (MnO ₂)	89.5 %
Toplam mangan (Mn)	89.5 %
Safsızlık	0.95 %
Demir	0.07 %
Kurşun	0
Silis	0.09 %
HCl'de çözünmeyen	1.33 %
pH	5.4 %

Mangandioxidin elektrolitik üretimindeki yöntemler verileri ile birlikte aşağıda gösterilmiştir:

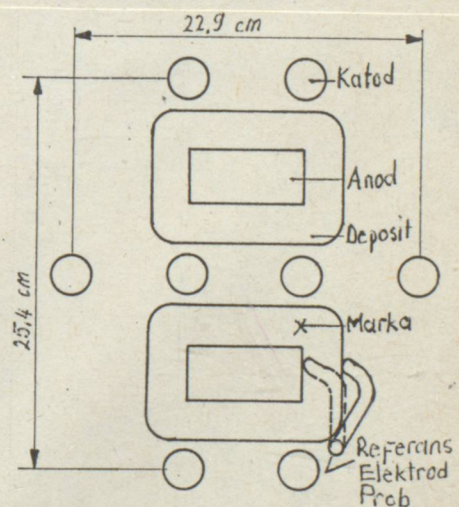
	Schunacher Yöntemi	Bürges Yöntemi	Rus Yöntemi	Japon Yöntemi
MnSO ₄ (g/l)	50-100	100-150	300-350	75-150
H ₂ SO ₄ (g/l)	5-75	33.5	180-200	49-98
Temp. (C)	90-94	80-90	25	90
Anod	Grafit	Pb des. Sb	Pb	Pb des. Sb
Anod akım yoğ. (A/dm ²)	0.8-1	0.6-1	5	0.5-1
Katod	Grafit	Grafit, Pb	Pb	Pb
Katod akım yoğ. (A/dm ²)	2	--	20	--
Gerilim (V)	2.2-2.6	2.5-3	--	düşük
Verim %	90-95	70-75	70-75	yüksek

7: ELEKTROLİTİK MnO₂ ÜRETİMİNDE DİĞER KOŞULLAR

7.1: HÜCRE VOLTAJı

van Adale ve Maier'e göre elektrod prosesi deposit elektrod ara yüzeyinde olmaktadır. Bilibim adamları elektrolit hücrenin küçük ve pilot bir çalışmasını yaptılar.

Pilot hücrede anod ve katod için elektrod meteryali olarak yüksek yoğunlukta yaq empere edilmiş grafit kullanıldı. Şekil 1'de yapılan plan gösterilmiştir. Elektrodlar polypropylene filmiyle kaplı çelik tanka konur. Isıtılmış hücre sıvısı bir prestaltik pompa ile 2 qpm hızla sirkülle edilir. Hücreye bir taraftan taze elektrolit giderken, kullanılmış elektrolit bir taşma borusundan alınmak suretiyle sabit seviyede tutulur.



Şekil 1: Elektrodların dizaynı

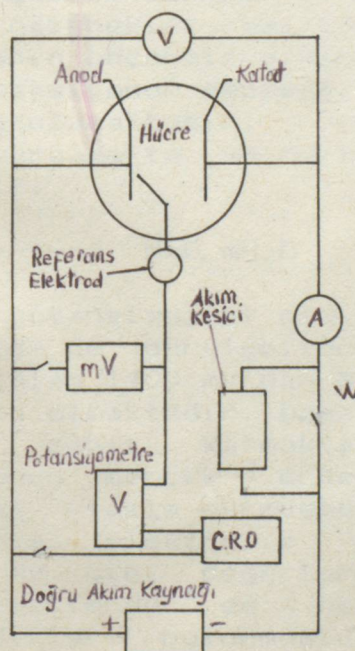
Hücre reaksiyon koşulları:

Sıcaklık	95 °C
H ₂ SO ₄	50-55 g/l
Mn	55-60 g/l
Anod akım yoğunluğu	10.0 A/ft ² (10.8 mA/cm ²)
Katod akım yoğunluğu	6.8 A/ft ² (7.3 mA/cm ²)

Şekil 1'de anodların birinin önüne belirli bir uzaklıkta asılı elektrolit içinde olan polypropylene şeridin durumu gösterilmiştir. Bu şerit depositin anod yüzeyinden veya elektrolit ara yüzeyinden uzaklığını belirlemekte kullanıldı.

Elektroliz 32 gün boyunca yapıldı. Bu süre sonunda deposit 2.5 cm kalınlığa ulaşır. Deposit dikkate değer uniform bir kalınlıktadır. Buda anodun bütün kesimlerinde uniform bir akım dağılımını göstermektedir. İki saatlik çalışma peryodundan sonra deposit yüzeyindeki potansiyel ölçümleri H₂SO₄ referans elektroduna karşı yapılır. Hücre dışında bir referans elektrod yerleştirilir ve 1N H₂SO₄ ile doldurulan prob yardımıyla elektrod anodlarından birine bağlanır. Her bir ölçümden sonra prob uzaklaştırılır, depositle teması önlenir. IR serbest potansiyal ölçümleri, sıfır göstergesi olarak bir katod ışını osiloskopu kullanılarak yapılır. Şekil 2'de sistematik olarak ekipmanlar gösterilmiştir.

İşlem sona erdiğinde anodlar hücreden çıkarılır, yıkanır ve deposit anoddan sıyrılır. Kimyasal ve X-Ray analizi uygulanır. Elde edilen kütleden bir elmas testere ile kesitler alınır. Her bir kesitte toplam manqan ve available oksijen saptanır. Bu değerler MnO₂'deki n değerinin tespitinde kullanılır.



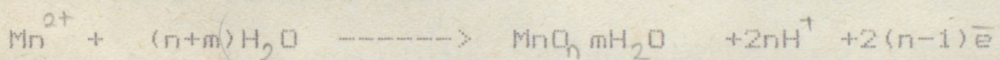
Şekil 2.
Hücre
Ekipmanları

Hücre voltajı ile zaman arasındaki grafik şekil 3'de gösterilmiştir. Sonuçlar başlangıçdaki 2.75 V'luk bir seviye ile hızla yükselme olduğunu bu noktadan sonra yavaş bir azalma ile deney sonunda 2.60 Volt seviyeye geldiğini göstermektedir. Grafikdeki iniş-cıkışlar depositdeki parçalanmalar sonucu elektrod bilşimindeki küçük değişikliklerden kaynaklanmaktadır. Toplam hücre gerilimindeki değişim şu etkenlerden kaynaklanmaktadır:

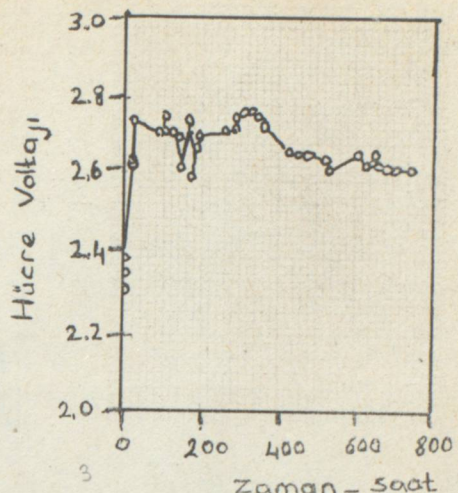
- 1: Anodik potansiyel
- 2: Depositteki IR düşüşü
- 3: Elektrolitteki IR düşüşü
- 4: Katodik potansiyel

7.2: ANODİK REAKSIYON

İşlem sonunda anodların incelenmesinde polypropylen markanın depositin içinde kaldığı gözlenmiştir. Buda depositin özellikle grafit ara yüzeyinde değil elektrolitte olduğunu göstermiştir. Anodlardan birindeki depositin katoda deşidiği fakat kısa devre olmadığı saptanmıştır. Bununla birlikte eğer deposit iletken olsaydı kısa devre olusmamıştı. Nicols'un iddiasına göre çok yüksek temas direncinin varlığı kayda değer miktarda elektrik akımının geçmesini engeller. Daha ileri bir incelemesinde deposit üzerinde bir takım gözeneklerin varlığını göstermişlerdir. Bunların sayısal olarak az ve ve tıkalı olduğunu ve elektrik yüzeyi ile anod arasında bağlantı kurulamayacağını açıklamışlardır. Bu gözlem Schrier ve Hoffman tarafından yapılan deposit oluşumunun gözenekler vasıtasiyla elektrik iletimine dayandırıldığı iddianın geçersiz olduğunu göstermektedir. Buna karşın Vetter'in reaksiyonun deposit/alaktrolit ara yüzeyinde yürüdügü savını doğrulamaktadır. Deposit oluşumu aşağıdaki mekanizmaya göre yürütmekte ve Vetter tarafından söylenen mekanizmaya uymaktadır.

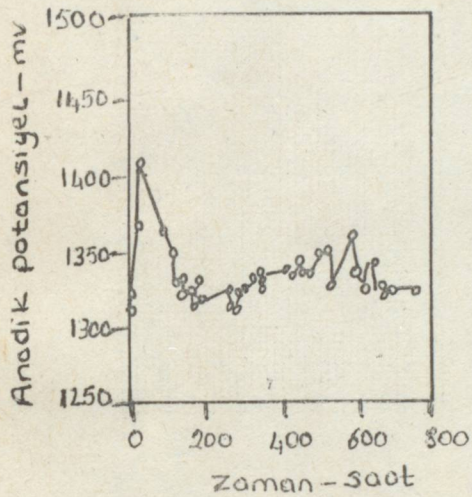


Sekil 4 anod potansiyelini elekroliz zamanına göre göstermektedir. Sekilde de görülebileceği gibi ilk 50 saat içinde NHE karşı ölçülen 1400 mV'dan daha yüksek potansiyellerde çok hızlı polarizasyon olmaktadır. Daha sonra düşmeye, sonradan 1300 mV civarında sabit kalmaktadır. Sekil 4'deki kesik ölçümeler polarizasyonun gerçek değerini göstermemektedir. Bu çalışma bir haftadan fazla sürmüştür. Bununla birlikte ayrı testler bu süre boyunca, elekroliz polarizasyonları NHE'da karşı ölçülen 1800 mV gibi değerlere ulaştığını göstermiştir. Daha az sayıda testlerde de her testin başında ön polarizasyona uğradıkları bulunmuştur. Polarizasyon grafit elektrod kullanıldığında daha çok görülmektedir. Platin anodlarda ise sürekli izlenmemiştir. Fakat yüzey hazırlanmasına

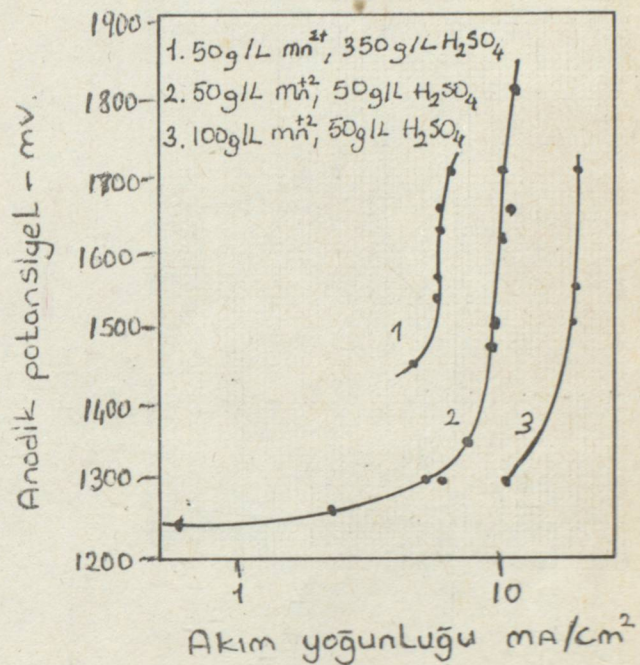


Şekil 3: Operasyon zamanı Hücre voltajı değişimi

bağlı olarak bazen gözlenmiştir. Bununda mümkün olan açıklaması anod yüzeylerinde oluşan başlangıçtaki film oksitleri reaksiyonun uygunlanan akım hızında qitmrsini engellemektedir ve elektrodlar polarize olmakta başka reaksiyonlar oluşmaktadır. Bu yüksek potansiyelde ya çözünmeye uğrar yada yeniden kristallenir. Elektroliz koşullarına uygun bir seviyeye geldikten sonra istenilen şekil elde edilir. Enson karalı anodik reaksiyonları kapsayan ilave bilgiler, sabit anod potansiyalında yürütülen labratuvardır ölçüündeki bir seri deneylerden elde edilmiştir.



Şekil 4:NHE'e göre ölçülen anodik potansiyelin zamanla değişimi

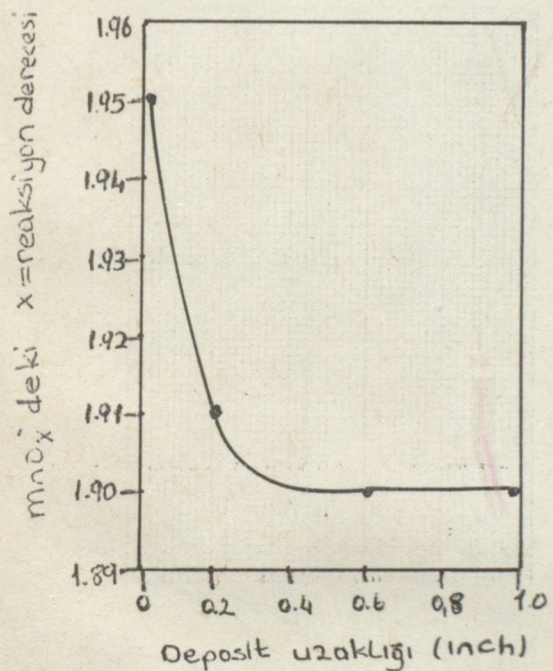


Şekil 5:Anodik potansiyel-Akim yoğunluğu değişimi

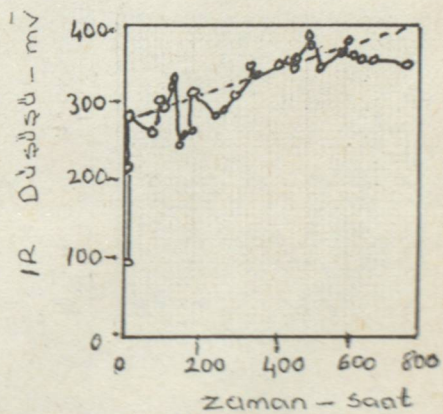
Kararlı hal akım yoğunluğu potansiyel bağıntısının şekli Şekil 5'de gösterilmiştir. Burdanda görüldüğü gibi, litresinde 50 g H_2SO_4 ve 50 g Mn^{2+} ($MnSO_4$) içeren elektrolit kısıtlanmış difüzyon koşullarında olmasına rağmen akım yoğunluğunu 10 A/ft²'ye (10.8 mA/cm²) artırmaktadır. Şekil 5'de bunlar gösterilmiştir. Elektrolitin mangan derişimini 100 g/l ye çıkardığımız zaman difüzyon oluşumu yaklaşık iki katına çıkmaktadır. Fakat litrede 250 g asid olacak şekilde bir artış akım yoğunluğunu yaklaşık yarıya indirmektedir. Litrede 50-100 g Mn^{2+} içeren elektrolitlerde anodik akım verimliliği potansiyel NHE karşı 1400 mV'u bulana kadar % 100'e yaklaşmaktadır. 1400 mV'tan daha yukarı değerlerde akım verimi azalmaktadır. Litresinde 350 g asid içeren elektrolitlerde anodik akım verimliliği yaklaşık % 50'dir.

X-Ray difraksiyon analizleri oluşan depositin yapısını aydınlatmış ve kimyasal analizlerde depositte kompozisyon değişiminin olduğunu göstermiştir. Buda anod potansiyelindeki değişimin depositin bileşimini etkilediğini gösterir. Kompozisyon gradienti şekil 6'da gösterilmiştir.

Kimyasal analizlerle elektrod yüzeyi bozunmuş maddenin çok ince bir kalınlıkta olduğu gösterilmiştir, n değeri 1.83 olarak saptanmıştır. Bu madde de kısmen okside olmuş grafit yapışmış kalınlığı $1/8$ inch'dır. Daha sonra yapılan diğer deneylerde anodlar 50 ve 400 saatlik operasyonlar sonunda alınarak inceleme yapıldığında grafit üzerindeki aşima, elektrodlar yüksek potansiyellere polarize olduğu zaman ilk 50 saat içinde olduğu görülmüştür. Operasyon zamanı 780h'den sonra anodlardaki bozulmada bir artış görülmemiştir.



Şekil 6: Depositdeki bileşim gradienti



Şekil 7: Zaman - IR değişimi

7.3: DEPOSITİN İLETKENLİĞİ

Şekil 7'de deposit içinden geçen akımla ilgili voltaj düşüklüğünü gösterilmektedir. Operasyonun ilk 50 saatinde depositteki IR

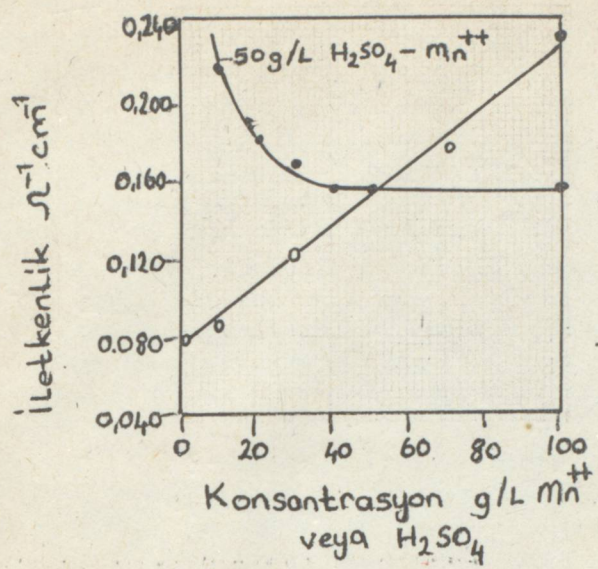
düşüşü hızla artmakta yaklaşık 300 mV'a erişmektedir. Bundan sonra deposit kalınlaşırken sabit bir artış olmaktadır. Büyüük bir olasılıkla eärde kaydedilen küçük saptmalar depositteki çatlamalardan meydana gelir. Grafikteki ilk 50 saatlik operasyon sırasında artı̄ elektrodlar yüksek potansiyele polarize olduğu zaman ve kısmen okside olmuş elektrod metaryeli ve bozulmuş MnO₂ tabakasının varlığı nedeniyle elektrod yüzeyinde yüksek temas direnci göstermesinden kaynaklanıyor. Platin elektrodlarla üretilen depositler, başlangıç polarizasyonu yüksek potansiyeli ulaştığı zaman IR bileşeninde ani bir artış görülmemiştir.

γ -MnO₂'nin yarı iletkenliği ile ilgili bilgilere gereksinim vardır. Pons ve Brenet oda sıcaklığında 13 ohm-cm direnç olarak rapor etmişlerdir. Gabona ve arkadaşları yarı iletkenlik aktivasyon enerjilerini çeşitli bilesimler için saptamışlardır. Bu bilgiler kullanılarak yapılan hesaplamalar ($T = 95^{\circ}\text{C}$, ortalaması $n=1.91$) γ -MnO₂'nin iletkenliğinin $0.4 \text{ ohm}^{-4} \text{ cm}^2$ olduğunu göstermiştir. Buda sürekli artan IR değerlerinden elde edilen $0.25 \text{ ohm}^{-1} \text{ cm}^{-1}$ değeri ile tutarlıdır. Buda depositin kalınlaşmasına bağlı olan IR'deki artı̄a karşılık gelmektedir. Şekil 7'deki kesikli çizgilerle gösterilmiştir. Yukardaki görüş anodun tabanından 8 inch'lik uzaklıkta tutulan referans probu ile yapılmış ölçümelerden çıkan sonuçlardır. Son iki saatinde ise elektrodon tüm yükseklik boyanca boyu dēīstirilmiştir. IR potansiyeli pozisyonuna bağlı değil ve NHE'a karşı ölçülen 1330 mV'da sabittir. Deposit boyunca potansiyel düşüşü 344 mV'dan (tabanda), 333 mV'a (tepede) dēīsmektedir. Akımı ve grafitin geçirgenliğini dikkate alan hesaplara göre grafit arasındaki akımın geçisiyle ilgili voltaj azalması yaklaşık 10 mV'tur. Bu faktör gözönüne alınmazsa bile depositteki voltaj düşüklüğü polarizasyona bağlı değildir.

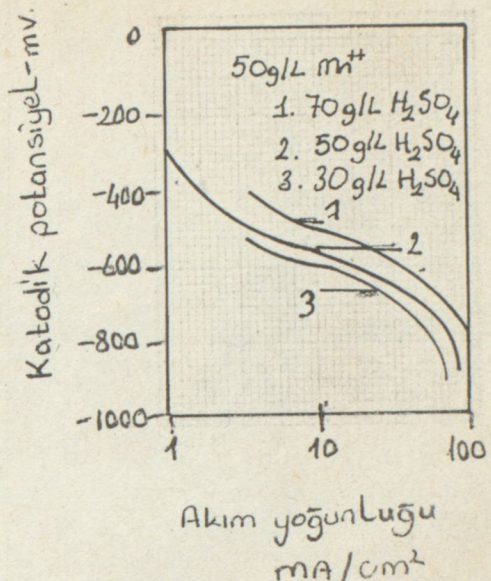
7.3: ELEKTROLİTİN İLETKENLİĞİ

Cesitli manqansulfat/sulfatasidi çözeltilerinin iletkenliği ısıtılmış hücrelerde ölçülmüş ve sonuçlar şekil 8'de gösterilmiştir. Bu çalışma göstermektedi ki litrede 50 g Mn²⁺ derişiminin üstünde elektrolitin iletkenliği manqan derişimine bağlı değildir. Fakat asid derişimi arttıkça lineer olarak artmaktadır. Elektrolit iletkenliğinin depositinkinden ($0.25 \text{ ohm}^{-1} \text{ cm}^{-1}$) düşükodūu aşikardır. Bundan dolayı deposit kalınlığı artan çözeltide akımın geçtiği yolun azalmasıyla toplam hücre direncinde net bir azalma ortaya çıkmıştır.

Hücre voltajındaki düşüşlerin bazıları şekil 3'de gösterilmiştir. Büyüyen depositin yüzeyinde akım yoğunluğunun azāamasından ileri gelir. Daha sonra ilk polarizasyon olmakta ve IR anod potansiyeli NHE'a karşı ölçülen 1300 mV dolayında pratik olarak sabit tutulur. Şekil 8'de görüldüğü gibi akım yoğunluğundaki değişmeyle anod potansiyelinde görelî bir değişme olmamıştır. Hücre koşullarında bu durum (sabit kalma kısmı) uygun düşmektedir. Bundan dolayı hücre voltajındaki azalma sadece çözelti yolunun uzaklığını azaltmıştır.



Şekil 8: 95°C 'de MnSO_4 'ün iletkenliği



Şekil 9: Katadik potansiyel-akım yoğunluğu değişimi

7.5: KATODİK REAKSIYON

Elektrolit olarak litresinde 30-70 g H_2SO_4 ve Mn^{2+} içeren çözelti kullanılır. Katodda hidrojen açıda çıkar. Mangan derişimindeki değişim önemli bir etki yapmamıştır. Fakat asid derişiminin değişmesi reaksiyon potansiyelinde dikkate değer bir fark ortaya çıkarmıştır.

Şekil 9'da görüldüğü gibi katodlarda düşük derişimlerle ve NHE'ye karşı -560 mV 'luk bir potansiyelle çalışılmıştır.

B: ELEKTROLİTİK MnO_2 ÜRETİMİ İLE İLGİLİ NOTLAR

1: MnO_2 'nin iri yapılı depositleri yarı iletken elektrod gibi davranır. Yarı iletkenle deposit arasında elektrik geçişleri olurken anodik reaksiyon deposit ve elektrolit ara yüzeyinde gerçekleşmektedir. Böylece Schumacher'in ileri sunduğu varsayımin doğru olmadığı ortaya çıktı.

2: Küçük bir pilot hücrede işlemin daha çok $2.75-2.60 \text{ V}$ 'luk bir değerde yürüdüğü görülmüştür. Sonuçların analizi anod ve katoddaki toplam kimyasal reaksiyonların 1.9 V 'da gerçekleştiğini göstermiştir. Ve geriye kalan $0.85-0.70 \text{ V}$ 'un akımın deposit ve elektrolitten geçisi için kullanıldığı görülmüştür. Elektrolitin iletkenliği depositinkinden daha küçüktür. Deposit kalınlaştığında bütün hücre direncinde önemsiz azalma olmuştur.

3: Schumacher Yöntemini asıl başarılı kılan yuvarlak şekilli grafit anodlardır. Daha önceki bütün araştırmalar klasik bir plaka anod üzerinde oluşan MnO_2 kolayca kırılabilir ve bu yüzden anodun sık sık uzaklaştırılması gerekmektedir. Buda sistemin maliyetini artırmaktadır.

İkinci zorluk ise elektrolitin sirkülasyonudur. Plaka şeklindeki elektrodların sirkülasyona engel oldukları görülmüştür. Bu zorluklar en uygun, çubuk şeklinde elektrodların kullanılması ile ortadan kaldırıldı. Bu sayede elektrod başına yüksek deposit elde edildi. 36:1 oranında ve aynı zamanda daha uzun işlem süresi sağlanmıştır.

4: Levha halinde grafit veya kurşun anod kullanıldığsa, anod yüzeyinde MnO bir çekiç darbesiyle alınır. Eğer bir çubuk anod kullanıldığsa, MnO ilé beraber anod ölütmür.

5: Hücre sıcaklığı $90^{\circ}C$ 'nin altına düştüğünde akım veriminde azalma görülür. Hatta pil aktif MnO_2 'in kalitesini azaltır. Sanayi hücrelerde sıcaklık elektrikli dalgıç ısıtıcılarla, açık istim ve buhar ile sağlanır.

Grafit anodlar kullanıldığında anod akım yoğunluğu en az $0.5-1 A/dm^2$ olmalıdır. Yüksek akım yoğunlığında hücrenin akım verimi azalmakta ve daha düşük pil aktiviteli MnO_2 birikmektedir.

6: Genellikle hücre koşullarını en çok asid derişimi etkiler. Litresinde 5-10 g asid olacak şekilde çalışılır. Asid derişiminin yüksek tutulması ile en ekonomik koşul sağlandı. Yüksek asid derişimi devreden $MnSO_4$ miktarını azaltır ve leach devresinde asid derişimini arttırır. Ticari hücrelerde asid derişimi litrede 50-75 gramdır. Buna rağmen bazı veriler düşük asid derişimli hücrelerde yüksek kaliteli MnO elde edildiğini gösterir.

7. Literatürde $MnSO_4$ derişimi için belirli bir değer yoktur, önemli olan $MnSO_4 / H_2SO_4$ oranıdır. Yüksek kaliteli pil aktif MnO_2 'in yüksek akımda üretimi için bu oran 1:1 olmalıdır.

8: Anod ve katod reversibl elektrod potansiyelleri, manqandioxiddeki aşırı gerilim, elektroldardaki voltaj düşüşü, çözeltideki voltaj düşüşü, katod üzerindeki aşırı gerilim hücredeki voltaj değişinin bir kısmını tutar. Hem yüksek asid derişimi, hemde yüksek sıcaklık çözeltide voltaj düşmesini azaltır. Voltaj düşüşü elektrodların tipine ve yapısına bağlıdır. Grafit, kurşundan daha iyi iletkendir, uzun - ince elektrodlar kısa - kalın elektroldardan daha çok voltaj düşüşüne neden olurlar.

9: Enerji etkileri iki faktöre bağlıdır: 1. Hücredeki voltaj düşüsleri 2. Akım verimi. Yüksek asid derişimi, elektrodun iyi iletkenliği ve yüksek sıcaklık tümü birden üretilen pound başına MnO_2 'e gereklili enerjiyi azaltır.

10: Elektrolitik MnO_2 hücrende katod ve anod arasındaki uzaklık hücre dizaynına ve üretilen MnO_2 'in tipine bağlı olarak değişir. Hücredeki H_2SO_4 ve $MnSO_4$ çözeltisi yüksek iletkendir. Katod anod arasındaki uzaklığın büyük olmasının diğer elektrolitik hücrelerdeki gibi voltaj üzerinde büyük etkisi yoktur. Anod yüzeyinde biriken MnO_2 'nin katoda değmesinin hücre voltajı üzerinde az yada hiç etkisi yoktur.

Akim verimi, sıcaklığın azalması, $MnSO_4$ çözeltisindeki safsızlıklar, düşük $MnSO_4$ derişimi ve yüksek akım yoğunluğu ile

azalır.

11: Ticari MnO_2 hücrelerinde genellikle grafit katod kullanılır. Başka katod metaryeli olarak bakır, kurşu, paslanmaz çelik de kullanılır. Grafit anod yavaş yavaş tükendiğinden araştırmalar yıpranmayan anod bulmak için yoğunlaşmıştır. Japonya'da ve Avrupa'da kurşun anodlar kullanılmaktadır. Bunun sakincası da pilin beklemeye sırasında ömrünü kısaltmasıdır. Japonlar $MnSO_4$ çözeltisindeki klörürleri uzaklaştırarak kurşun anod üzerine etkisini azalttılar. Elektrolitik mangan hücrelerinde olduğu gibi bir mangandioxid hücrende en iyi kurşun anodlar %0.15 gümüş içeren anodlardır.

Titanyum, platin elektrodlarda kullanılmaktadır.

9: Cu VE MnO_2 'İN ELEKTROLİTİK OLARAK BİRLİKTE ELDEŞİ

Madneulsk madenlerinden manganın fototasyonu ve $pH=4.5-5$ 'e getirilerek demirin oiderilmesi ile ele geçen çözelti elektroliz hücresına verilir. Çözeltide demir < 0.005 g/l'den az olmalıdır. Fazla katod - anod verimini azaltır ve anod ürünüde safsızlıklar oluşturur.

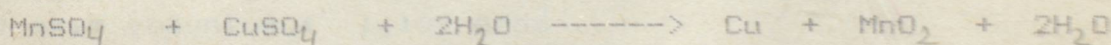
Bu çözeltinin elektrolizi ile katodda Cu, anodda MnO_2 birikir. Akım yoğunluğunun 1'den 3.5 A/cm²'ye yükselmesiyle katod akım verimi %93'den %80'e, anod akım verimi %95'den %81'e azalır. Sıcaklığın ve elektrolit asitliğinin artması katod akım verimini azaltır. Çünkü bakırın kendi kendine difüzyonuna neden olur.

Optimum elektroliz koşulları için aşağıdaki değerler saptandı:

Cu^{2+}	50-30 g/l
Mn^{2+}	20-80 g/l
H_2SO_4	0-30 g/l
Sıcaklık	90°C
Anod akım yoğunluğu	1-1.3 A/dm ²
Katod akım yoğunluğu	1-1.3 A/dm ²
Anod verimi	90-93 %
Katod verimi	92-95 %
Hücre gerilimi	1.4-1.7 V

70-90 °C'de yapılane elektrolizde bakır ve MnO_2 aynı anda elde edilir. Çözelti 15 g Cu²⁺, 20-30 g Mn²⁺ ve 0-30 g/l H_2SO_4 içerir.

Reaksiyon aşağıdaki gibi gerçekleşir:



İlk önce Pb-Aq ve sonra MnO_2 -Ti anodlar ve bakır elektrodlar kullanıldı. Katod akım yoğunluğu 10-40 A/dm² ve anod akım yoğunluğu 1 A/dm²'dir. Akım verimi %60-1 MnO_2 , %1.9 Cu içerir. Bakır ve toz MnO_2 analizinde %99.74 Cu ve %91.2 MnO_2 elde edilir.

Me- MnO_2 'nin (Me=Cu, Zn, Ni) aynı anda elektrolizinin avantajları:

- a. %50-60 elektrik tasarrufu sağlar,

- b. Hidrojen ve oksijen çıkışını %83-86 oranında azaltır
 c. Tek banyoda yapılan denemede elde edilen ürünlerin oranı
 $Mn : MnO_2 > 1:1.2$ 'dir.

MnO_2 içinde bulunan Cu ve Pb, H_2SO_4 veya HNO_3 ile leach edilerek uzaklaştırılır. En iyi sonuc: %5 H_2SO_4 -%3 HNO_3 çözeltileri ile katı: sıvı orani = 1/12:1/10 olarak elde edilmiştir. Pb ve Cu'ın alınması, MnO_2 'nin partikül büyüklüğünə, leach zamanına ve karıştırma hızına önemli ölçüde bağlıdır. Leach sıcaklığının artması ile ($20^{\circ}C$ 'den $80^{\circ}C$ 'e) ve artan süre ile ayrılan Cu miktarı artar. MnO_2 'de kalan ve Cu, Pb miktar %0.01 Cu ve %0.06 Pb olup buda pil için gerekli olan MnO_2 yi karşılar.

10. DENEYSEL KISIM

Alışılmış proseslerde anodda Mn^{2+} ---> MnO_2 'e yükseltgenirken, katodda H_2 ayrılmaktadır. H' den daha önce katodda ayrılabilen bir metal iyonu varlığında anodda manqan elde edrken katodda bu metalin saf halde elde edilmesi MnO_2 maliyetini önemli ölçüde düşürecektdir. Örneğin blister bakır elektrolitik olarak saflaştırılır ve bu işlem için önemli ölçüde sabit yatırım gereklidir. MnO_2 'nin elektrolitik eldesi içinde benzer ölçüde bir yatırıma gerek duyulur. Her ikisinin tek bir elektrolizle kazanılması başarılılığında sabit yatırım yarıya düşecektir. Ayrıca belirli akım miktarı karşılığında anodda MnO_2 , katodda Cu aynı anda kazanılacağın elektrólizde tüketilecek elektrik enerjisi de yarı yarıya azalacaktır. Bu düşünceyle Cu - MnO_2 'in aynı anda kazanımı için optimum koşullar araştırılmış anod ve katod veriminin asid ve bakır derişimine bağımlılığı incelenmiştir.

10.1: DENEY DÜZENEĞİ, DENEY KOŞULLARI

O-15 Volt arasında kesiksiz ayarlanabilir redresör,
 Magnetik karıştırıcılı ısıtıcı,

Termometre,

Ampermetre ve Voltmetre,

Elektrodlar,

5mm çapında kontakt bölgesi bakırla kaplanmış grafit çubuklar,
 Elektrolit: $MnSO_4$ 100 g/l, H_2SO_4 0.89 M, $CuSO_4$ 0.055-0.328 M

Sıcaklık: $90-94^{\circ}C$

Anod akım yoğunluğu: 1.167 A/dm²

Katod akım yoğunluğu: 1.167 A/dm²

Gérilim: 2-2.5 V

10.2: AKIM VERİMİNİN BAKIR DERİŞİMİNE BAĞIMLILIGI

$CuSO_4 \cdot 5H_2O$ gerekli miktarda tartılıp deiyonize suda çözülerek 0.55 MCuSO₄ çözeltisi hazırlandı (I). 169 g $MnSO_4 \cdot H_2O$ deiyonize suda çözülerek 1 litreye tamamlandı (II). Bu çözeltiden 250'şer ml'lik porsiyonlar alınıp üzerlerine 43.88 g %95'lik H_2SO_4 katıldıktan sonra sırayla 20, 40, 80, 100, 120, ml (I) çözeltisi katılıp su

ile 500 ml'ye tamamlanarak 5 adet elektrolit hazırlandı. Buna ilave olarak Mn ve H₂O₂ derişimleri aynı olan fakat CuSO₄ içermeyen bir çözelti daha hazırlandı. Anod ve katod olarak grafit çubuklar kullanılıp 90-94°C'de 2-2.5 V'da elektroliz işlemi 2 saat sürdürüldü. Elektroliz bitiminde anod üzerinde toplanan MnO₂ der. HCl'de çözülerek kompleksometrik yolla MnO₂ miktarı saptandı. Katod üzerinde toplanan Cu ise HNO₃'de çözülerek kompleksometrik yolla miktarı saptandı. Elektroliz sırasında gerektikce voltaj ayarlaması yapılarak akım şiddeti sabit tutuldu. Elektroliz süresi ve akım şiddetinden toplam akım miktarı saptandı. Bu miktarla karsılık olan teorik bakır ve MnO₂ miktarları hesaplandı. Pratikte elde edilen miktarla teorik miktarlar kullanılarak akım verimi aşağıdaki gibi bulundu:

$$T = \frac{2 \cdot 3600 \cdot 0.116 \cdot 87}{2 \cdot 96500} = 0.377 \text{ g}$$

$$T^1 = 0.048 \cdot 85.5 \cdot 87 \cdot 10^{-3} = 0.357 \text{ g}$$

$$\text{Anod akım verimi} = \frac{0.357}{0.377} \cdot 100 = 94.7 \%$$

$$T = \frac{2 \cdot 3600 \cdot 0.116 \cdot 63.5}{2 \cdot 96500} = 0.2757 \text{ g}$$

$$T^1 = 0.048 \cdot 49.2 \cdot 63.5 \cdot 10^{-3} = 0.150 \text{ g}$$

$$\text{Katod akım verimi} = \frac{0.150}{0.2757} \cdot 100 = 54.59 \%$$

Burada T teorik miktarlar T¹ ise pratik miktarlardır. 0.048 N EDTA çözeltisinin akım şiddeti 0.116'dır. Bu yolla elde edilen değerler Tablo 1'de görülmektedir:

Tablo 1: Akım veriminin baktırın derişimine
bağımlılığı

[Cu ²⁺]	Madde Mik.		Akım verimi		Akım
	MnO ₂ (q)	Cu(q)	MnO ₂ %	Cu %	mA
0.022	0.327	0.236	91.6	—	116
0.044	0.378	0.228	97.9	83.7	119
0.066	0.377	0.192	97.7	80.9	119
0.088	0.382	0.192	98.9	67.9	116
0.110	0.357	0.161	94.8	58.3	116
0.132	0.364	0.150	96.7	54.6	116
	0.390	0.153	98.6	53.0	122

MnSO₄ : 100 g/l

H₂SO₄ : 43.9 g/l

10.3: AKIM VERİMİNİN ASİD DERİŞİMİNE BAĞIMLILIĞI

Bir önceki bölümde anlatılan MnSO₄ çözeltisinden 250'şer ml ve (I) çözeltisinden 40'ar ml alınarak üzerlerine 5, 10, 15, 20, 25 ml %95'lik H₂SO₄ katılıp 500 ml'ye tamamlanarak 5 ayrı elektrolit hazırlandı. Aynı koşullarda elektroliz işlemleri tekrarlandı. Elde edilen değerler tablo 2'de görülmektedir.

Tablo 2: Akım veriminin asid derişimine bağımlılığı

[H ⁺]	Madde miktarı		Akım verimi		Akım
	MnO ₂ (q)	Cu(q)	Cu%	MnO ₂ %	mA
0.18	0.375	0.203	73.9	99.6	116
0.36	0.364	0.199	72.4	96.7	116
0.54	0.361	0.202	73.5	96.1	116
0.72	0.287	0.202	73.5	76.1	116
0.89	0.377	0.228	80.9	97.6	119

MnSO₄ : 100 g/l

CuSO₄ : 86.9 g/l

10.4: ELEKTROLİZ SIRASANDA AKIM SİDDETİ DEĞİŞİMİ

Sürekli proseslerde elektrolit, hücrelerden devrettirilip eksilen Mn²⁺ derişimini belirli bir düşünceye kadar elektrolize devam edilir. Elektroliz sırasında MnO₂ anodda ayrılırken aşağıdaki tepkime gereği çözeltide H₂SO₄ oluşmaktadır:



Mn derişimindeki azalmadan kaynaklanan direnç artması oluşan H_2SO_4 tarafından karşılandığında eğer elektrodlar arasındaki qerilim sabit tutulursa ampermetrede okunan akım şiddeti de sabit kalacaktır. Fakat Mn^{2+} derişiminin azalması nedeniyle dirençdeki artış H_2SO_4 oluşumuyla dirençdeki azalisa eşit olmadığından ölçülen akım şiddeti daha farklı olacaktır. Bu durumun incelenmesi için bölüm 10.1'de belirtilen çözeltiler ve aynı düzenek kullanılarak elektroliz yapıldı. 250 ml (II) çözeltisi 25 ml H_2SO_4 çözeltisi alınıp 500 ml'ye tamamlandı. Grafit elektrodlar kullanılarak 90-94°C ve 2.5 V qerilimde elektrolize başlandı.

Elektroliz sırasında buharlaşma nedeniyle hacim azalması her 15 dakikada bir sıcak deiyonize su ilavesiyle karşılanarak elektrolit hacmi sabit tutuldu. Ayrıca her saat başında çözeltide azalan Mn^{2+} ve Cu^{2+} iyonlarını karşılamak için Mn^{2+} ve Cu^{2+} çözeltileri ilave edildi. Elektroliz süresince okunan akım şiddeti Tablo 3'e gösterilmiştir:

Tablo 3: Akım şiddeticinin zamanla değişimi

Süre (dak.)	AKIM ŞİDDETİ (mA)	(Çözelti ilave)
0	116	
15	105	
30	103	
45	99	
60	97	100
75	99	
90	98	
105	100	
120	99	100
135	97	
150	96	
165	96	
180	90	93
195	96	
210	87	
225	81	
240	81	81
255	83	
270	78	
285	87	
300	87	87
315	72	
330	75	
345	78	
360	78	78
375	76	
390	75	
405	75	
420	72	

10.5: MANGANDİOXİD KALINLIĞININ AKIM VERİMİNE ETKİSİ

Bölüm 10.3'de anlatılan deneyde Mn^{2+} derişiminindeki azalmadan MnO_2 kaynaklanabilecek direnç değişimi incelenirken anodda toplanan MnO_2 tabakasının kalınlığının etkisi dikkate alınmamıştır. MnO_2 kalınlığının akım şiddeti üzerine etkisini gözleyebilmek amacıyla bölüm 10.4'de yapılan elektroliz işlemi değişik sürelerde tekrarlandı. Sürenin bitiminde devreden geçen akımın şiddeti okundu. Değerler tablo 4'de görülmektedir:

Tablo 4: MnO_2 kalınlığının akım verimine etkisi:

SÜRE	MnO_2 MIKTARI (mg)	AKIM	VERİM	
saat	teorik	pratik	mA	%
1	92	69	57	75
2	165	137	51	83
3	224	207	46	93
4	272	263	42	97

10.6: SONUÇLARIN DEĞERLENDİRİLMESİ

Tablo 1'deki değerlerle Cu^{2+} derişimi ile akım verimleri arasında çizilen grafikler şekil 1'de görülmektedir. Grafiklerden görüleceği gibi anod akım verimi çözeltideki Cu^{2+} derişiminin artmasıyla yükselmekte ve bir noktadan sonra yaklaşık sabit kalmaktadır. Akım verimini azaltıcı faktörlerin başında elektriğin ısıya dönüşmesi ve elektrodlarda yan ürün oluşumunun artması gelmektedir. Anodda oksijen çıkışının fazla olması anod akım veriminin düşmesindeki en önemli etkendir. Normal elektroliz sırasında Mn^{2+} iyonlarının katoda taşınması ve anod civarının mangan iyonları bakımından fakirleşmesi anod verimini düşürür. Buna karşılamak amacıyla çözeltinin sirkülasyonu ve çözeltiyi asid ilavesi apılar. Çözeltide bakırın varlığı Cu^{2+} ve Mn^{2+} iyonlarının yarıçapları arasındaki fark nedeniyle öncelikle bakırın katoda taşınımı, dolayısıyla mangan taşınımında yavaşlama olması sonucunu doğurabilir. Bu nedenle anod civarında mangan derişiminde daha az düşüş olacağından anod akım verimi yükseltebilir. Belirli bir dengeye eriştiğten sonra daha fazla Cu^{2+} katılmasının akım verimini artttırmadığı söylenebilir. Katod akım verimi ise artan Cu^{2+} derişimi ile azalmaktadır. Bunu nedeni iyon derişiminin artmasıyla iyonların çözelti içersindeki difüzyonunda yavaşlama ve katod civarında metal derişimindeki azalma sonucu bir derişim polarizasyonunun ortaya çıkması olabilir.

Sonuç olarak yaklaşık $0.02-0.023\text{ M}$ Cu^{2+} derişiminde çalışıldığında hem anod hemde katod veriminin optimum olduğu söylenebilir.

Tablo 2'de yer alan H_2SO_4 derişimleri ile akım verimi

arasındaki grafikler şekil 2'de görülmektedir. Grafikte görüldüğü gibi 0.72 M asid derişimi dışındaki değerlerde çok önemli farklar görülmemektedir. Asid derişiminin artmasıyla anod akım veriminde, 0.72 M asid derişimi dışında küçük bir azalma gözlenmiş, katod akım verimi ise 0.89 ve 0.72 M asid derişimi dışında sabit kalmıştır. 0.72 M asid derişiminde çalışıldığında hem anod hemde katod akım veriminde önemli ölçüde düşüş görülmektedir. Bu derişimlerdeki denemeler çok sayıda tekrarlanmasına rağmen yaklaşık aynı değerler elde edilmiştir. Elde bulunan verilerle bu sapmanın nedeni hakkında bir yorum yapma olanağı yoktur.

Kesikli proseslerde Mn^{2+} derişiminin zaman içindeki azalması, buna karşı anod üzerindeki MnO_2 tabakasının kalınlaşması elektrodlar arasındaki toplam direncin artmasına neden olmaktadır. Bu direnç artışının zaman içersindeki değişimini sabit gerilimde devreden geçen akımın şiddetinin ölçülmesiyle izlenmiştir. Tablo 3'de yer alan akım şiddeti ve zaman birimi arasında çizilen ve şekil 3'de görülen grafik incelendiğinde; zaman içersinde akım şiddetinin azaldığı izlenmektedir. Başlangıçta akım şiddetindeki azalma çok hızlı iken yaklaşık 30. dakikadan itibaren bir yavaşlama görülmekte, 150. dakikadan sonra ise tekrar hızlı bir azalma söz konusu olmaktadır.

Grafikten görüldüğü gibi birer saatlik periyotlar sonunda okunan akım şiddeti ile aynı sırada elektrolit çözeltisi ilavesiyle okunan akım şiddeti arasında belirli bir fark bulunmamaktadır. Elektrolit ilavesiyle akım şiddeti bir önceki değerin altında kalmaktadır. Eğer akım şiddetine azalma yalnızca elektrolitin seyrelmesinden kaynaklanmış olsaydı elektrolit ilavesinden sonra akım şiddetinin başlangıçdaki değere ulaşması gereklirdi. Sürekli düşüş anod üzerinde toplanan MnO_2 tabakasının belirli bir direnç oluşturduğunu göstermektedir. Grafikte görüldüğü gibi elde edilen noktalar ortalama çizilen eğri etrafında önemli saçılımlar göstermektedir. Bu saçılımlar MnO_2 tabakasındaki çatlaklara bağlanabilir. [F.R.A.Jordansen J.E. Soc.Electrochemical Technologi No:2, Voll.117]

MnO_2 tabakasının kalınlaşmasıyla saçılmalardaki artış bu görüşün doğruluşunu kuvvetlendirmektedir. Çatlak miktarının artması ile iletkenliğin artacağı, dolayısıyla elektrolizin hızlanması ve elektrolitin metal iyonunca fakirleşmesinin hızlanacağı bu alanda (150 dakikadan sonra) akım şiddette hızlı bir azalma sonucunu ortaya çıkarabilir. 10.4 bölümünde anlatılan deneme sonunda anod üzerinde toplanan MnO_2 'nin tabaka kalınlığının artması akım verimini negatif yönde etkilemediğini ortaya çıkarmıştır. Aksine anod akım veriminde lineere yakın bir artış görülmektedir. (Şekil 4, grafik 2) Çözeltinin direncinin gerek MnO_2 kalınlığı ile gerekse derişim azalmasıyla arttığı daha önce belirtildmiştir. Ortalama akım şiddeti ile elektroliz süresi arasında çizilen grafik süre uzadıkça ortalama akım şiddetenin lineere yakın bir şekilde azaldığını göstermektedir. (Şekil 4, grafik 1). Bu da toplam direnç artmasının doğal sonucudur.

Özet olarak anod üzerinde daha kalın MnO_2 toplanmasının zararlı olmayacağı aksine işletme yönünden daha pratik ve daha ekonomik olacağı söylenebilir. [Chemical Engineer s:151, Voll:68, 1954]

Görüldüğü gibi aynı anda Cu-MnO₂ elde etmek olasıdır. Ancak çıkan ürünlerin safiyeti yönünden bir kuşku söz konusu olabilir.

Elektroliz işleminden sonra anodda toplanan MnO₂ içersindeki Cu kalorimetrik yolla analiz edilerek MnO₂'nin %1.29 oranında bakır içeriği bulunmuştur. Bu analiz aşağıdaki gibi yürütülmüştür:

Kullanılan çözeltiler:

1. %6'lık Na₂P₂O₇ çözeltisi
2. ZO.4'lük sodyum dietilditiyokarbamat
3. Amonyak d=0.88
4. Susuz Na₂SO₄ (tuz olarak)
5. Amil alkol - eter karışımı (1:1)

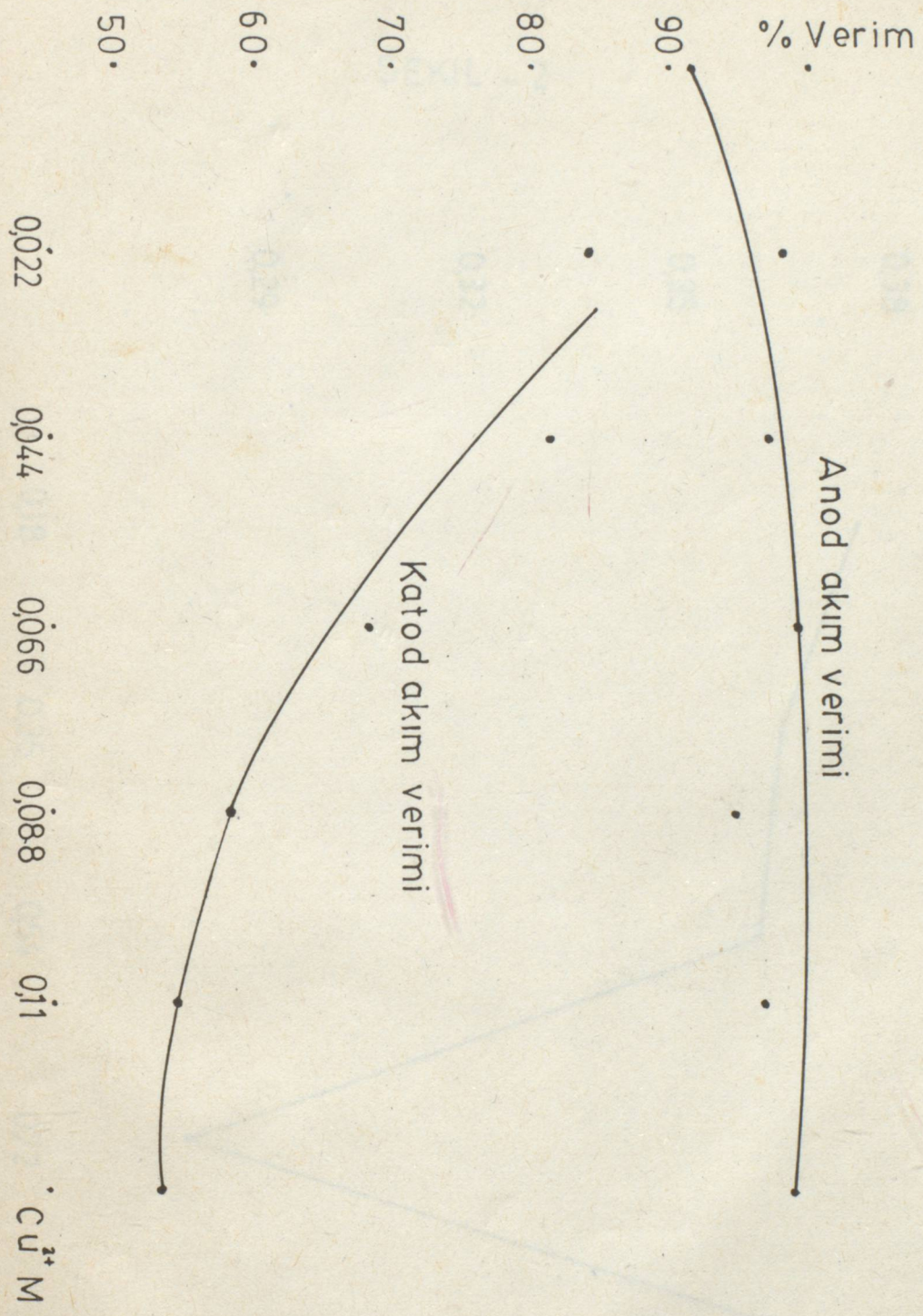
80 mg CuSO₄·5H₂O, 250 ml'ye deionize su ile tamamlandı. Bu çözeltiden belli derişimde standart çözeltiler hazırlandı. Kalibrasyon egrisi çizildi. (Şekil 5)

Elektroliz ürünü MnO₂, HCl'de çözülüp 100 ml'ye seyretilindi. Bundan 10 ml alınarak MnO₂ analizi yapıldı. Bu çözeltiden alınan diğer 5 ml'lik kısımda ise aşağıdaki gibi ekstraksiyon yapıldı:

Cözelti NaOH ile nötralleştirildi. 5 ml Na₂P₂O₇ çözeltisi, 5 ml NH₃, 5ml sodyumdietilditiyocarbamat ilave edildi. 2 dakika karıştırıldı. 10 ml alkol-eter karışımı ilave edilip ayırma hunisinde 1 dakika çalkalandı. Faz ayrıldı. Ayrılan alkol fazına bir spatül susuz Na₂SO₄ ilave edildi. Suyu çekildi. Üstteki faz alındı ve 50 ml'ye tamamlandı. Kalorimetriden okunan absorbanslara kalibrasyon egrisinde karşı gelen derişimler bulunarak MnO₂ içindeki bakırın miktarı bulundu.

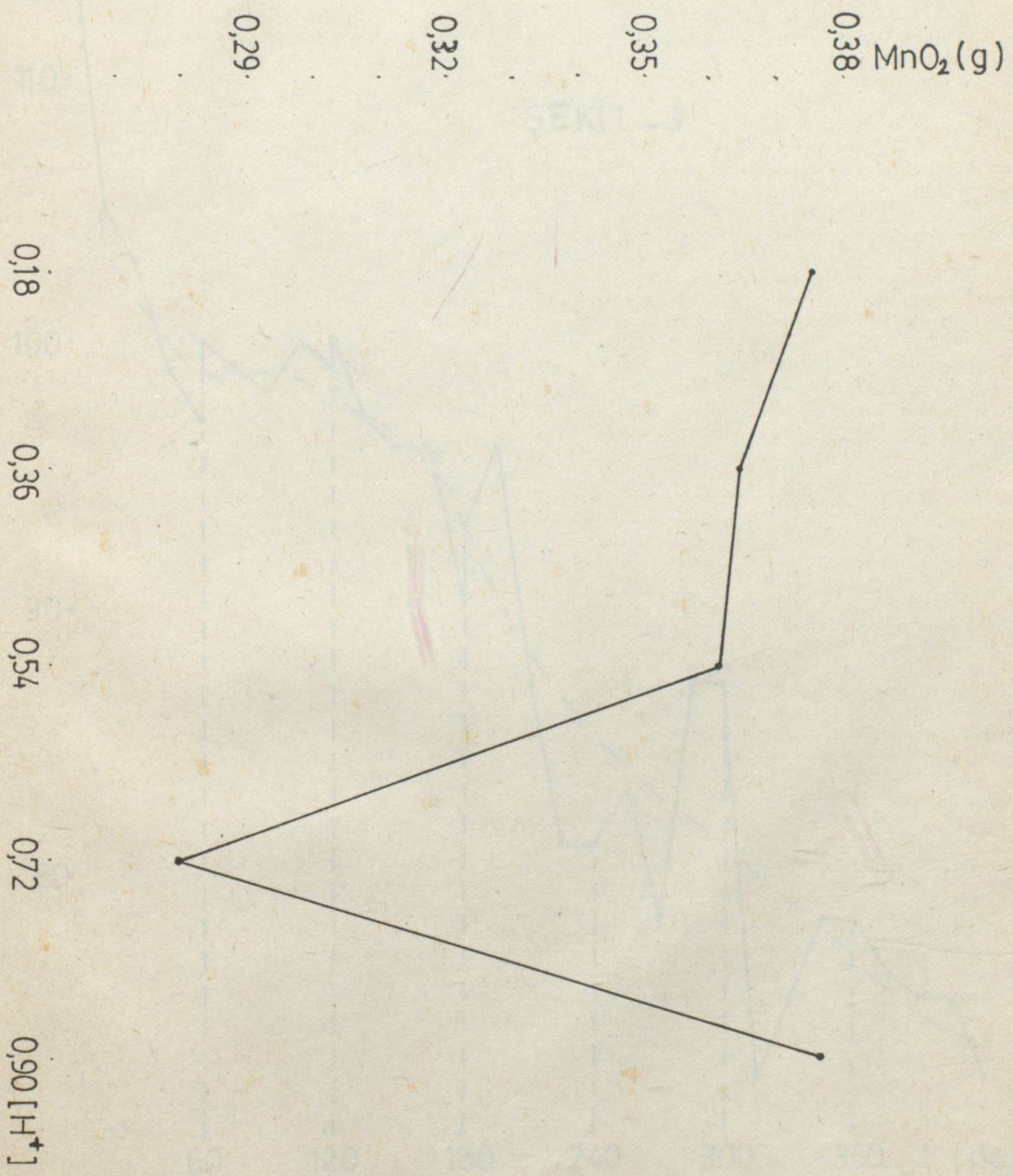
Bakırlı MnO₂ %5 H₂SO₄-%3 HNO₃ çözeltilerinin bir karışımıyla 20°C'de leach edildi. Leach işleminden sonra geriye kalan MnO₂ içersinde % 0.7 oranında bakır kaldığı saptandı.

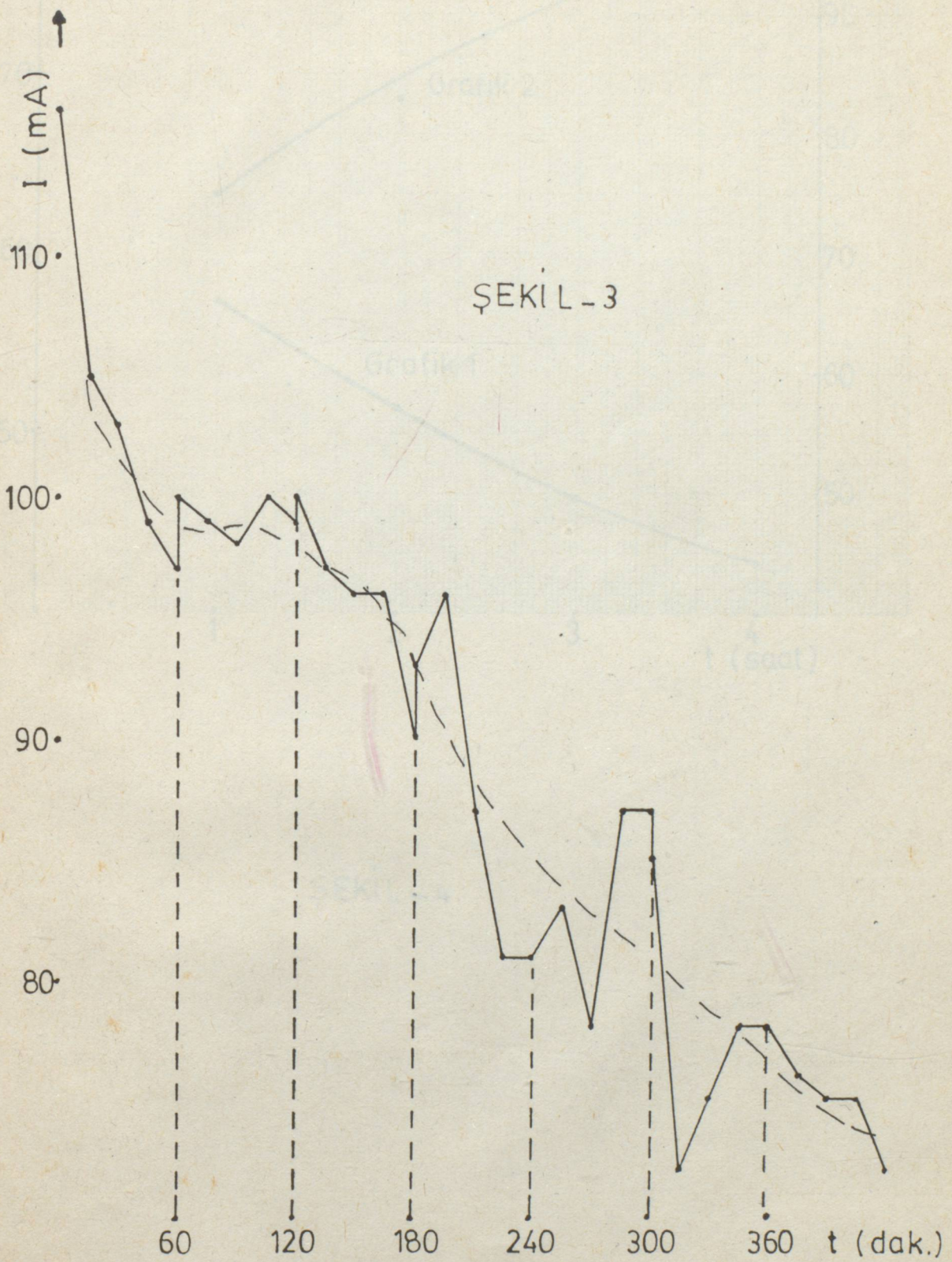
Leach süresinin ve sıcaklığın arttırılmasıyla bakır miktarının % 0.01 - 0.06 oranına getirilebileceği ve bu miktarla bakırın MnO₂'nin pil üretiminde kullanılmasında sakınca yaratmayacağı literatürde belirtilmektedir. (Elektrokhim. Margantasa Date: 1975 Volume 5, Pages: 219-20)

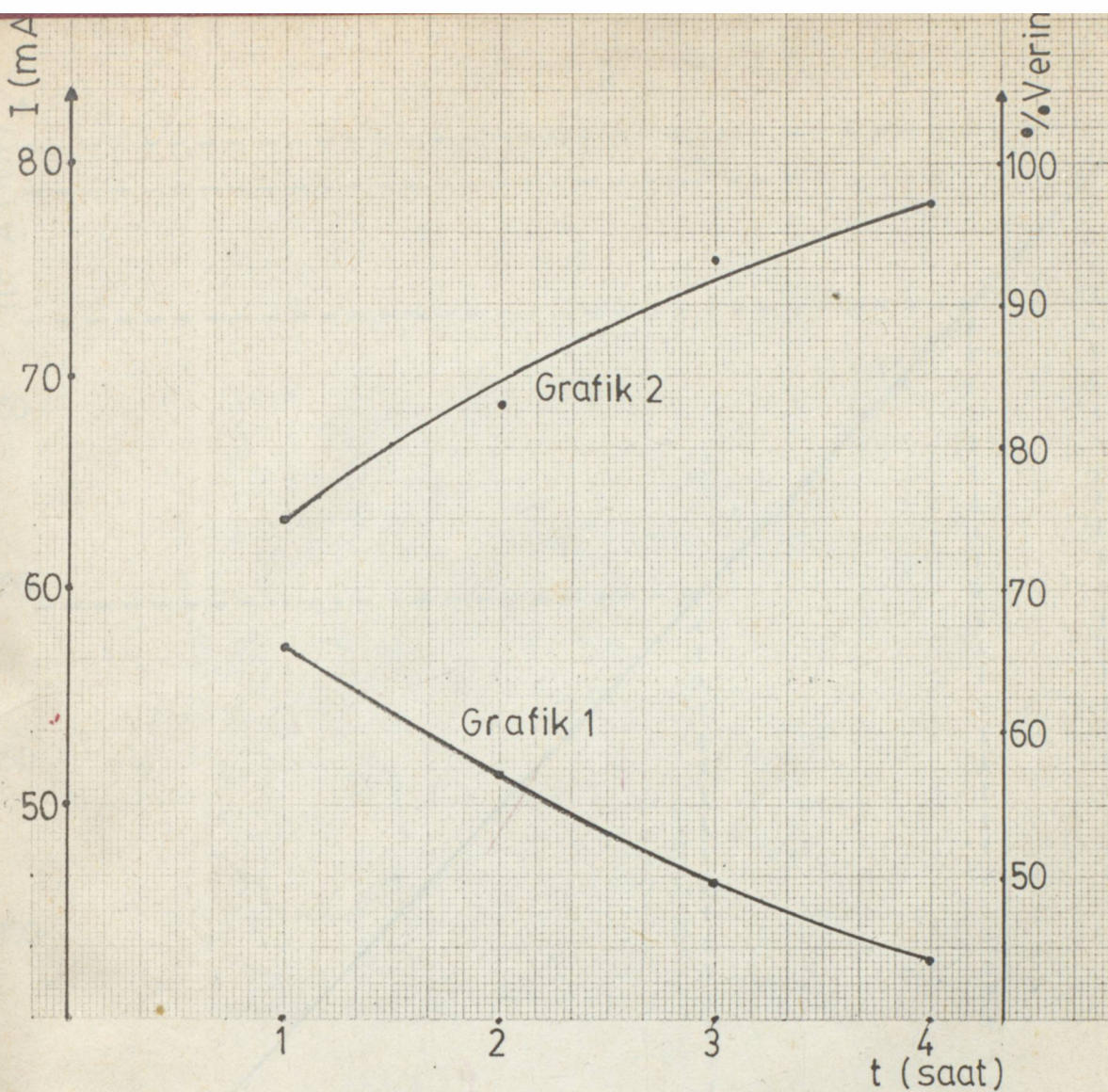


SEKİL-I

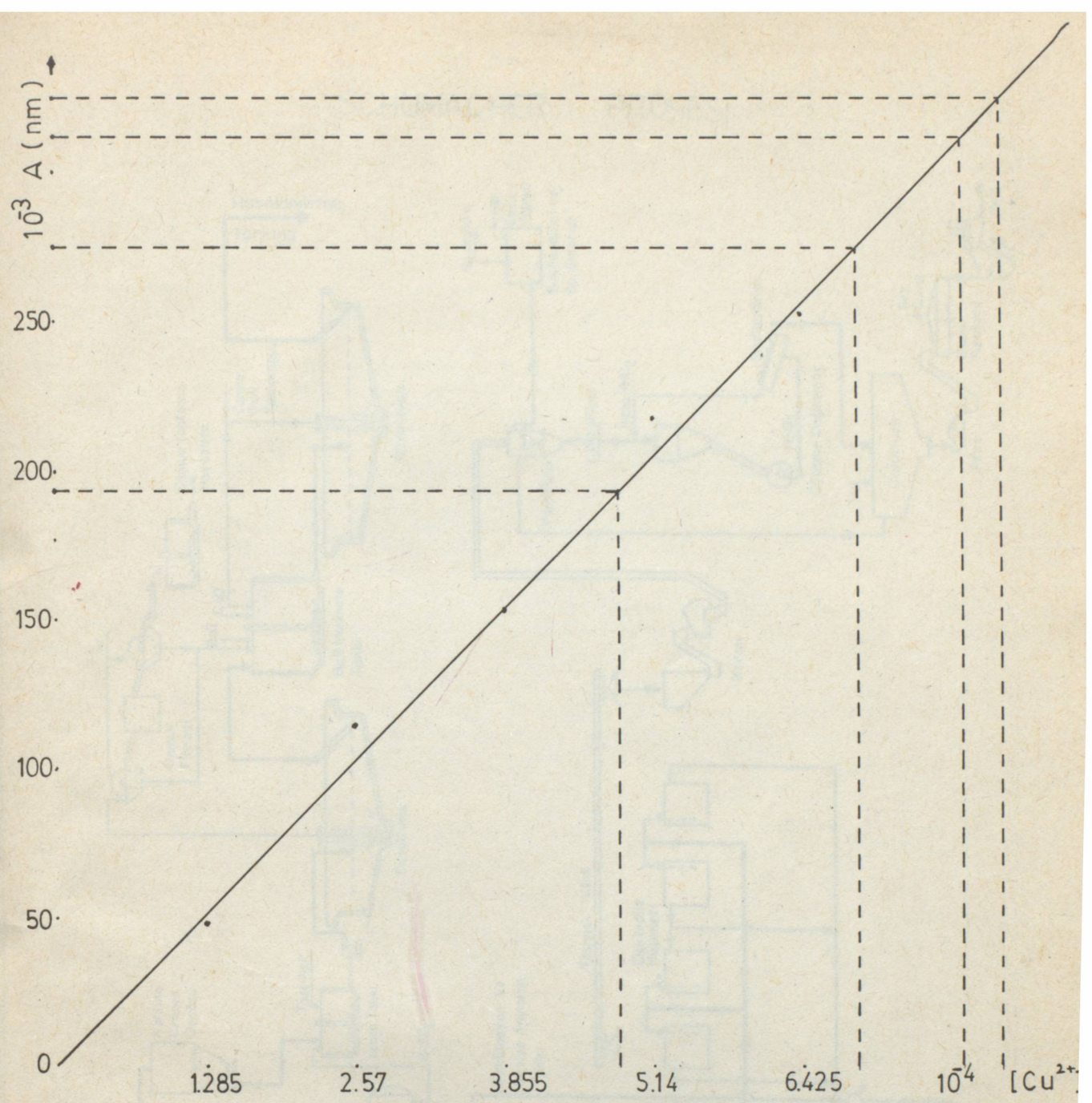
ŞEKİL - 2





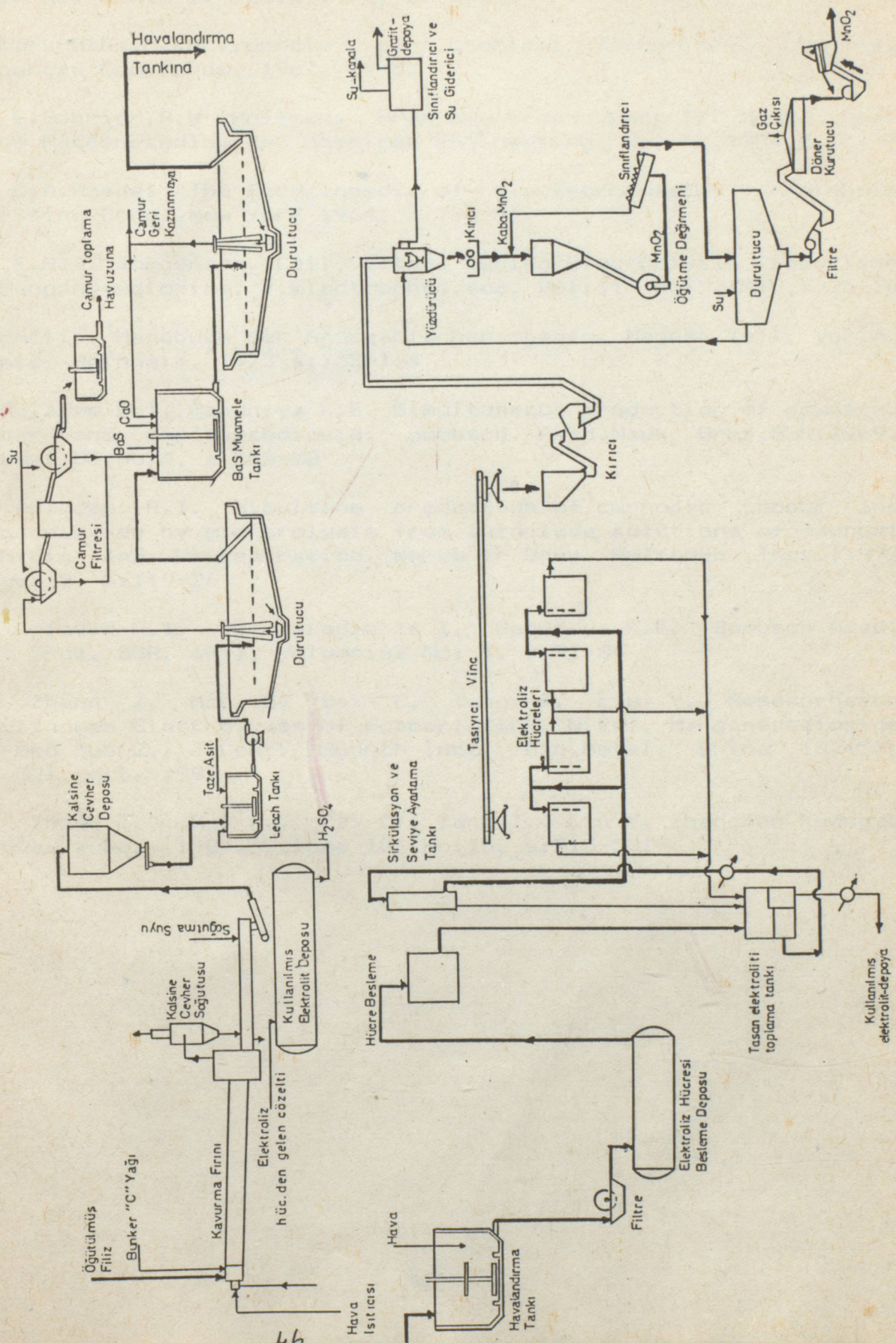


ŞEKİL - 4



ŞEKİL - 5

SCHUMACHER PROSESİ



Kaynaklar:

- 1: Ayar M., Karayazıcı F.İ., Eyileten Y., Türkiye Sanayi Kalkınma Bankası A.Ş., Kimya Sektör Araştırması, Ek Araştırmalar: Manganer Yayın No: Kimya 11 Kasım 1979, s.23-25
- 2: Kirk-Othmer, Encyclopedia of Chemical Technology, Vol:13, Manganese Compounds, 1967, 19-53
- 3: E.Schriener, R.W Hoffman, From Low Grade Domestic Ores, High Grade Manganese dioxide, Chemical Engineering, Vol 62, 1954, s 151-55
- 4: C.A.Hampel "The Encyclopedia of electrochemistry", Reinhold Publishing Corp., New York 1964, s 790-92
- 5: F.R.A. Jorgenson, Cell Voltage During Electrolytic Production of Manganese dioxide, J.Electrochem.soc, Vol:117 No:2, 1970, s275-78
- 6: Gmelin, Handbuch der Anorganischen chemie, Mangan Teil, Verlag Chemie, Weinheim, 1973 s:135-164
- 7: Aqladze R.I., Gabuniya K.E. Simultaneous production of powdered copper and manganese dioxide, Soobsch Akad.Nauk Gruz,SSR,1969, Volume: 55, No:3, s 585-88
- 8: Aqladze R.I. Simultane production of carhodic cooper and mangandioxide by electrolysis from autoclave solutions of madnuel Sk,Miniq and Concentration Works Tr Gruz Politekh Inst., 1972 Voleme:5, s:119-26
- 9: Aqladze R.I. Shavlakadze Ts I, Babuniya K.E. Soobsch Akad, Nauk Gruz, SSR, 1971, Volume:62 No: 1, s:81-84
- 10: Zhang Z., Mei G., Cai C., Tang Z., Liu Y., Researches on Simultanous Electrolyses of Copper, Zinc, Nikel, Manganese dioxide (Me-Meo Sub 2.) J.Cent. Sounth Inst. Min.Metal, China 18,(5), 515-521, oct. 1987
- 11: Zhang Z., Mei G., Cai C., Tang Z., Liu Y. Zhangnan Kuangye Xueyuan Xuebaa 1987, Volume 18, No:15, s:515-521

Arş. Gör. İkbal AKKILIC

1965 senesinde doğdum. İlk ve orta öğrenimimi İstanbul'da tamamladım. 1982 yılında İstanbul Üniversitesi Mühendislik Fakültesi Kimya Mühendisliği Bölümüne girmeye hak kazandım. 1986 yılında aynı fakülteden Kimya Mühendisi olarak lisans öğrenimimi tamamladım. Kısa bir süre özel sektörde çalıştıkları sonra 1987 yılında Araştırma Görevlisi olarak Yıldız Üniversitesi Fen Edebiyat Fakültesi Kimya Bölümü'nde görevi başladım, halen aynı fakültede görevimi sürdürmekteyim.



* 0 0 0 7 4 3 4 *